

# COSMOS 2022



. COSMOS 2022- 2023

Recopiladas por Luis Angel Alonso Matilla.

Sabed, todos los que hayáis leído alguna de mis más de 70 obras, que se puedan encontrar en Internet, que todo ello ha sido posible gracias al más que humano trabajo de un gran profesional encargado del servicio De RIUNet de la Universidad Politécnica de Valencia. D. Francisco Jesús Martínez Galindo.  
<pacomar@upv.es>.

Si supieran la santa paciência de este señor llegarían a comprender de lo que estoy hablando.

Tal vez con solo este agradecimiento y el fuerte abrazo a tan extraordinario compañero no fueran suficientes, pero al menos que quede constância.

Yo lo tengo muy claro.





Arco iris circular completo, en Islas Lofoten, Noruega. Nasa 22-12-2022.



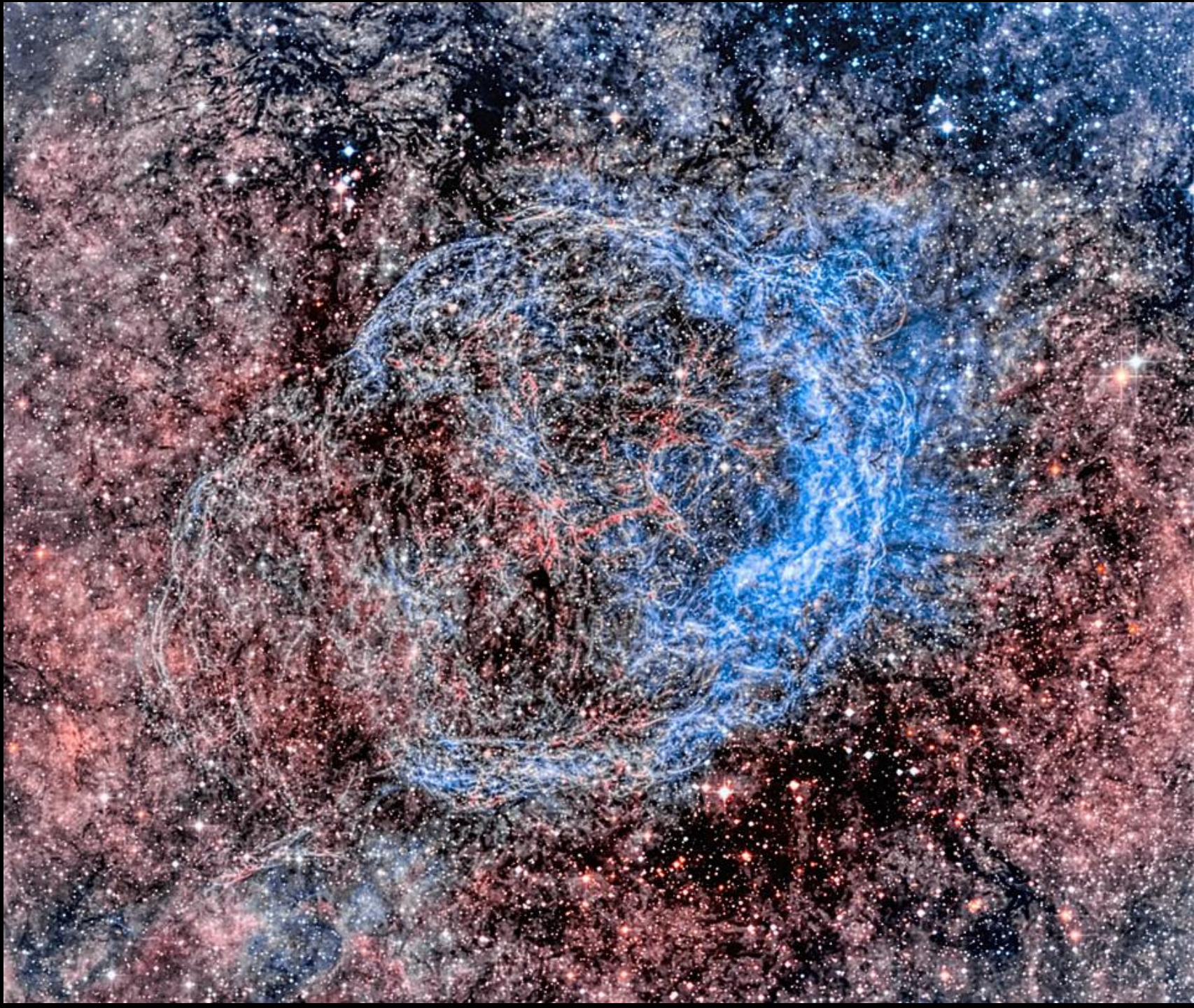


1 Trillizo de Wild.- Arp 248- Nasa 8-11-2022.

ESA/Hubble & NASA, J. Dalcanton  
Dark Energy Survey/DOE/FNAL/DECam/CTIO/NOIRLab/NSF/AURA,



La nebulosa asimétrica que rodea a la estrella Wolf-Rayet 18- o NGC 3199 . ¿Por qué la nebulosa brilla más en un lado que en el otro?. Hacia la constelación de Carina. La imagen profunda presentada ha sido altamente procesada para resaltar los detalles filamentosos del gas brillante en la nebulosa en forma de burbuja. Nasa 9-11-2022.







Nebulosa Wizard NGC 7380. Como un hechicero medieval ficticio. Gravitación lo suficientemente fuerte como para formar estrellas y vientos estelares y radiaciones lo suficientemente poderosas como para crear y disolver torres de gas. Hacia la constelación Rey del Etiopía. Nasa 14-11-2022.

Ioan Popa



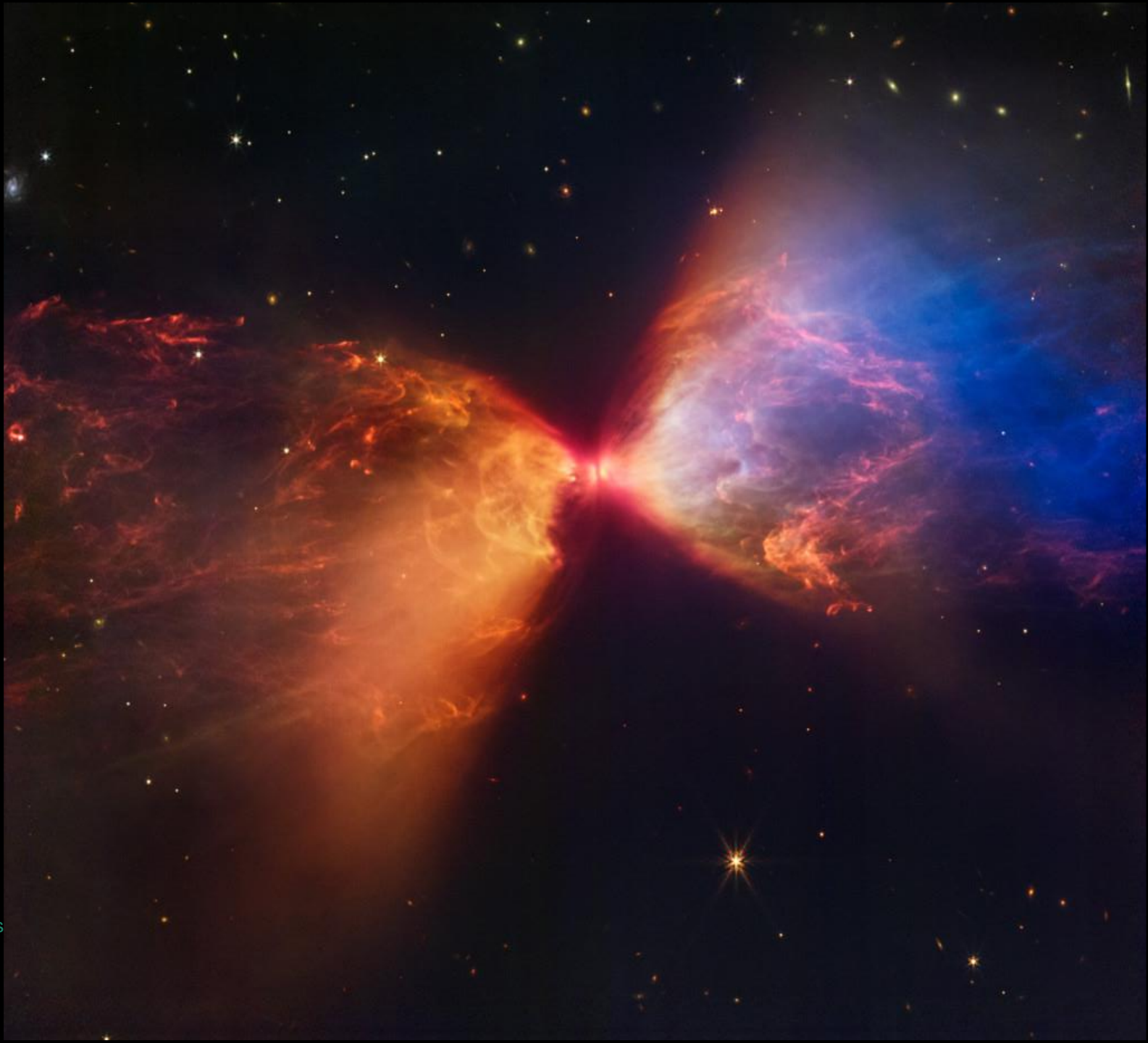
Nebulosa Cueva del Lobo. La azulada VdB152 o CED 201 es muy débil bajo la larga nebulosa oscura Barnard 175 en un polvoriento complejo oscuro denominado Cueva del Lobo, algo distante de la constelación Cefeo. En la parte inferior de la imagen está la nebulosa planetaria Dengel-Hartl 5, mientras que el gas rojo brillante de un remanente de supernova antigua también es visible a lo largo del lado derecho de la imagen. Nasa 15-11-2022-







En los brazos de NGC1097. Galaxia espiral. En la constelación de Fornax. Una galaxia Seyfert, el núcleo de NGC 1097 también alberga un agujero negro supermasivo. Nasa 16-11-2022.



La proto-estrella dentro de la nube oscura L1527. La banda oscura en el cuello de la nebulosa infrarroja es un disco grueso que rodea al joven objeto estelar. (imagen girada a la izq. 90°).Nasa 18-11-2022.

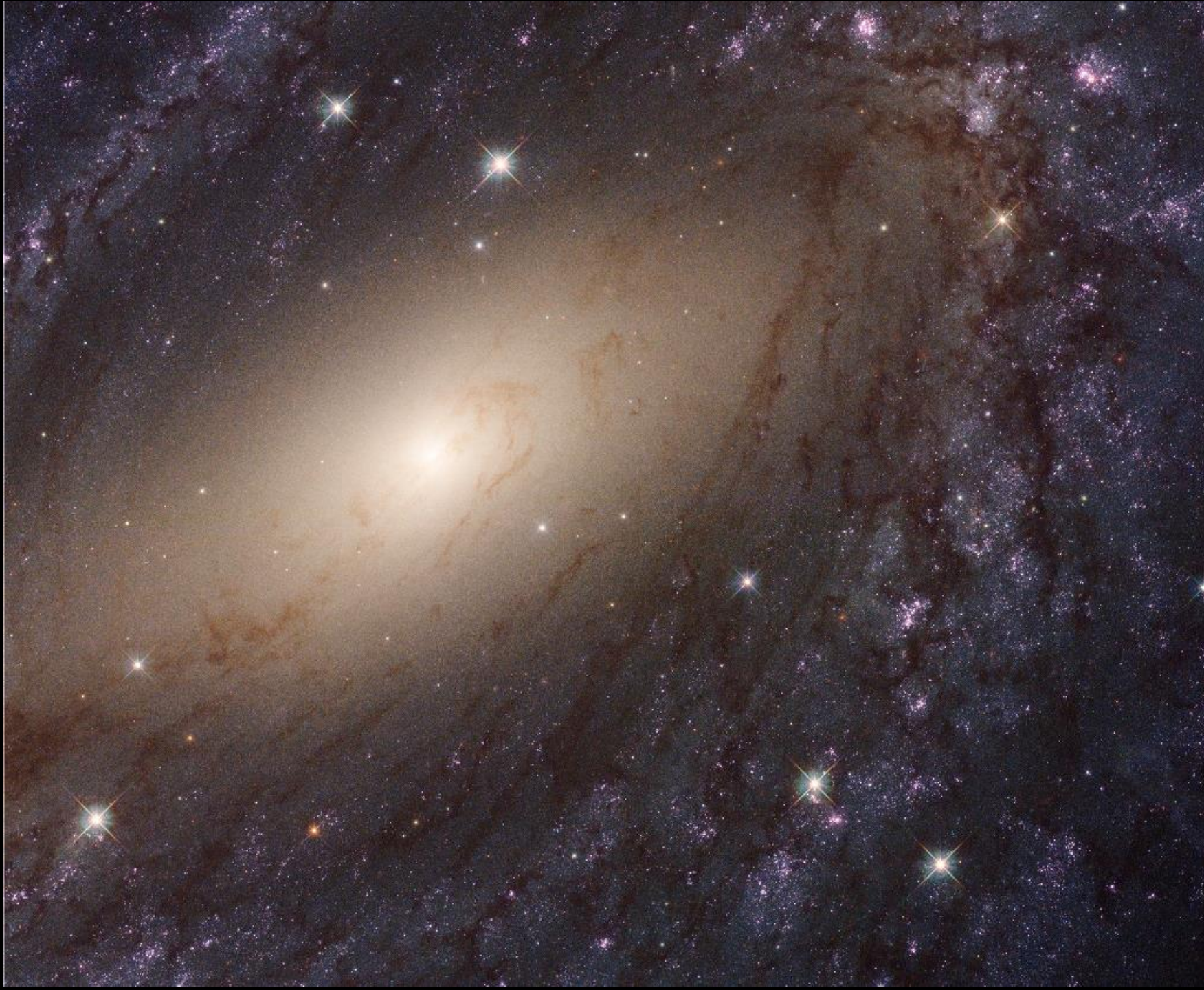




Nebulosa  
Mariposa NGC  
6302. Nasa 21-  
11-2022.



Galaxia  
espiral  
NGC6744-  
estragaláct  
ico de  
cerca. Con  
luz visible  
y  
ultravioleta  
. Al sur de  
la  
constelació  
n de Pavo.  
Nasa 25 -  
11-2022.







Fusión de un par de Galaxias. IIZw096. Hacia la constelación de Delfinus. Nasa 2-12-2022.



Mars 2022/11/28 -18:17.1 UT  
Diameter 17.2" - Elevation 65°



Mars 2022/11/26 -17:23.8 UT  
Diameter 17.1" - Elevation 65°



Nauris 21" f/3.8 @ f/19 - P1 SATURN-M-SQR - Singapore © Marco Lorenzi [www.glitteringlights.com](http://www.glitteringlights.com)

Marte en relieve. (yo lo consigo 'cruzando la vista- y manteniéndome en la imagen 'del medio'). Nasa 3-12-2022.





Pléyades. El cúmulo-cluster-estelar de las siete hermanas. ( En realidad son 7). Nasa 5-12-2022.

Christian Sasse & Drake Estes

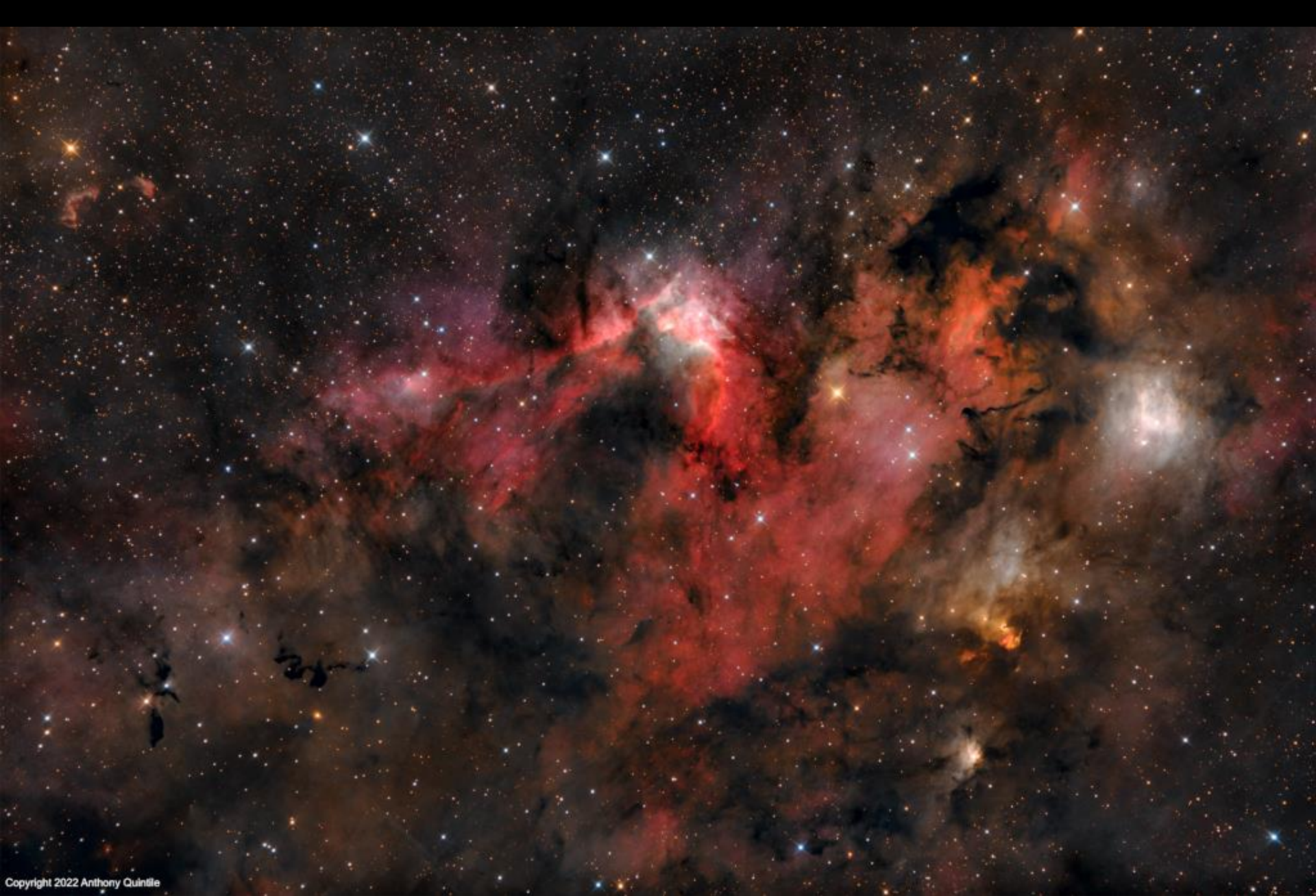




Un pilar de formación de estrellas de Webb, En la nebulosa Águila M16. La luz energética, los vientos abrasivos y las supernovas finales de estas estrellas jóvenes destruirán lentamente ésta columna de nacimiento estelar durante los próximos 100.000 años. Nasa 5-1-2023.

NASA/ESA/CSA/STScI  
Processing & ©: M. H. Oszarac





Copyright 2022 Anthony Quintile

Abarca unas cuatro lunas llenas a través de campos de estrellas ricos en nebulosas a lo largo del plano de nuestra Vía Láctea en la constelación real del norte de Cefeo. Con Nebulosas de reflexión polvorientas, como vdB 155 a la derecha, y densas nubes de polvo que oscurecen. Abajo ya la derecha del centro, la emisión del objeto Herbig-Haro es generada por chorros energéticos de una estrella recién nacida. Nasa 30-11-2022.

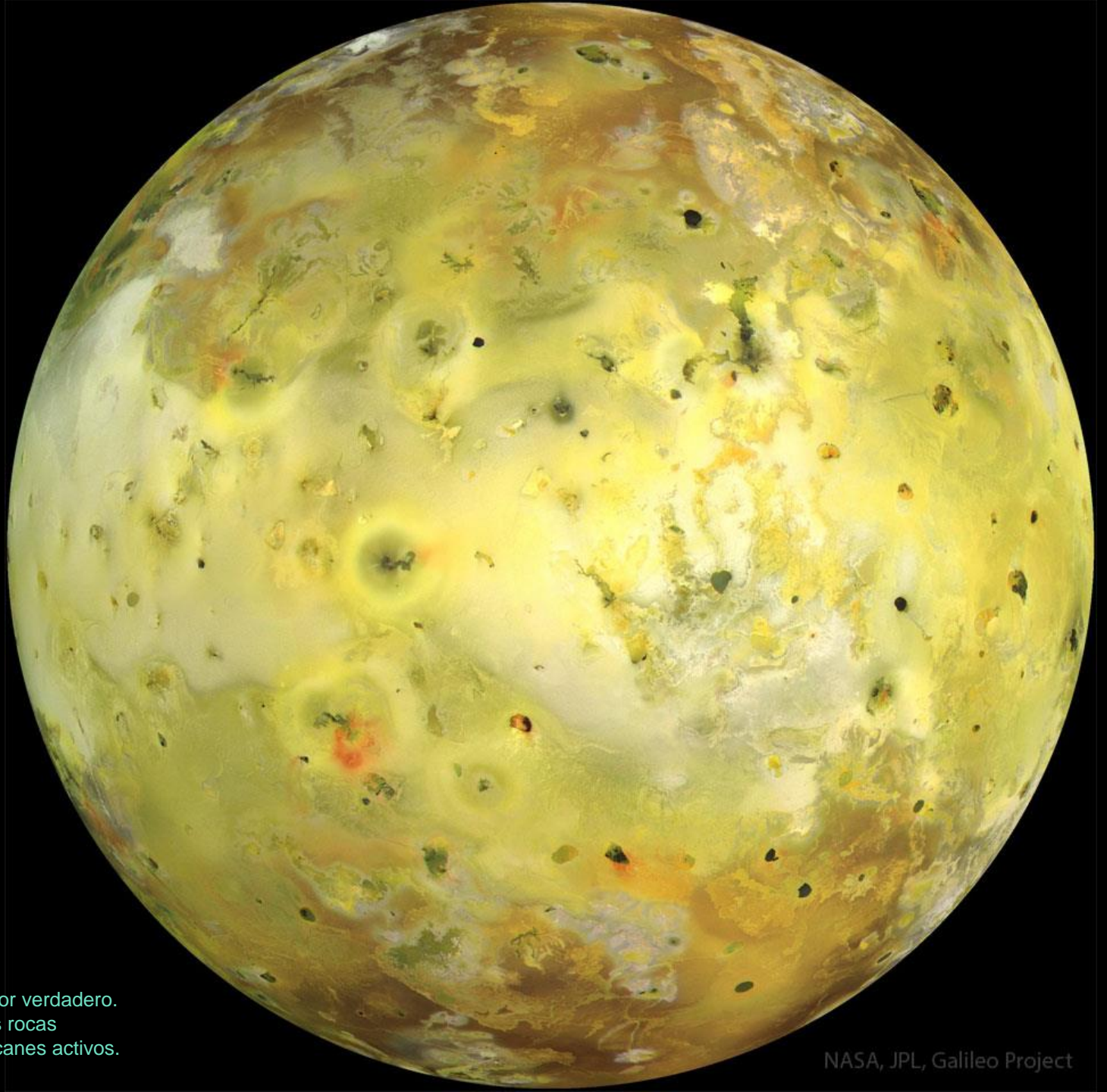
The Helix nebula (NGC 7293)



Nebulosa Hélice-Helix- Hacia la constelación de Acuario. NGC 7293. Nasa 7.12.2022.

t o m m a s o s t e l l a





Lo satélite de Júpiter, en su color verdadero.  
Por el azufre mezclado con las rocas  
silicatadas, a causa de los volcanes activos.  
Nasa 11-12-2022.





Glóbulo inusual en el IC1396 Nebulosa Trompa del Elefante en la constelación de Cefeus. Concentración de gas y polvo dentro de la región, formadora de estrellas, mas ionizada. Nasa 12-12-2022.

Bernard Miller



*Sirius*

*Canopus*

*Rigel Kentaurus*

*Arcturus*

*Vega*

*Capella*

*Rigel*

*Procyon.*

*Achernar*

*Betelgeuse*

*Hadar*

*Altair*

*Acrux*

*Aldebaran*

*Antares*

*Spica*

*Pollux*

*Fomalhaut*

*Deneb*

*Mimosa*

*Regulus*

*Adhara*

*Shaula*

*Castor*

*Gacrux*

25 estrellas más brillantes en el cielo nocturno. Nasa 18-12-2022.





Nebulosa Tadpole- (del Renacuajo)- IC410- en gas y polvo, en constelación del Auriga, con la radiación del cúmulo estelar abierto incrustado NGC 1893. Nasa 19-12-2022.





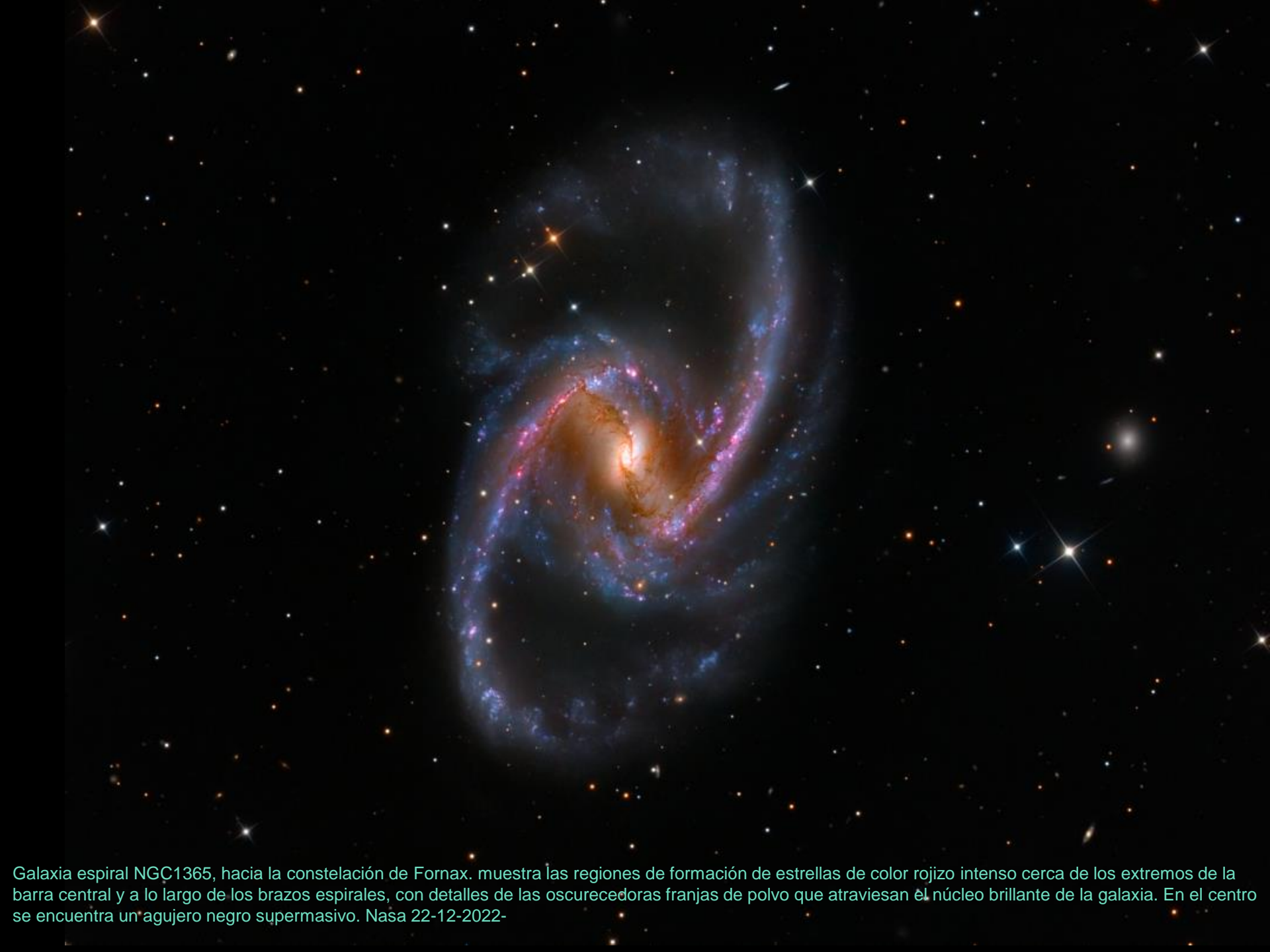
El Casco de Thor-NGC2359-. Parece una burbuja interestelar. Evoluciona en una fase de evolución a supernova. Nasa 20-12-2022. Hannah Rochford



GÖRAN STRAND  
astrofotografen.se  
@Astrofotografen

Halo solar a 73 grados norte. Una preciosidad. Nasa 21-12-2022.





Galaxia espiral NGC1365, hacia la constelación de Fornax. muestra las regiones de formación de estrellas de color rojizo intenso cerca de los extremos de la barra central y a lo largo de los brazos espirales, con detalles de las oscurecedoras franjas de polvo que atraviesan el núcleo brillante de la galaxia. En el centro se encuentra un agujero negro supermasivo. Nasa 22-12-2022-



Nebulosa y Halo del Huevo del Dragón- NGC6164. La estrella- de tipo O- en el centro creó todo. En otros tres o cuatro millones de años, la estrella masiva probablemente terminará su vida en una explosión de supernova. Nasa 26-12-2022





Makemake (suena como MAH-kay MAH-kay),

el segundo planeta enano más brillante del cinturón de Kuiper, tiene una luna. Apodada MK2, la luna de Makemake refleja la luz del sol con una superficie oscura como el carbón, unas 1.300 veces más tenue que su cuerpo principal.



Cascada de estrellas de Kemble. Esta línea de estrellas es real. Un poco demasiado débil para ver a simple vista, la Cascada de estrellas de Kemble inspira asombro cuando se ve con binoculares. Sin embargo, al igual que la Osa Mayor, la Cascada de Kemble es un asterismo, no una constelación. El objeto brillante cerca de la parte superior izquierda de la imagen es el relativamente compacto cúmulo abierto de estrellas Jolly Roger, designado oficialmente como NGC 1502. Nasa 3-1-2023.







CG4, el glóbulo y la galaxia. ¿Puede una nube de gas comerse una galaxia? Ni siquiera está cerca. La nube de gas conocida como glóbulo cometario. Nasa 4-1-2023.





Las Hijas de Atlas y Pleione. Lanzándose a través de una nube de polvo cósmico a solo 400 años luz de distancia, el hermoso cúmulo estelar abierto de las Pléyades o Seven Sisters es bien conocido por sus llamativas nebulosas de reflexión azul. Ellas se disponen hacia la constelación de Tauro y el Brazo de Orión de nuestra galaxia, la Vía Láctea. Nasa 5-1-2023



Cold Moon  
7th December 2022



Beaver Moon  
8th November 2022



Wolf Moon  
17th of January 2022



12

11

1

Hunter's Moon  
9th October 2022



Snow Moon  
16th February 2022



10

2

FULL MOONS  
OF 2022

Harvest Moon  
10th September 2022



Worm Moon  
18th March 2022



9

3

8

4

Sturgeon Moon  
11th August 2022



Pink Moon  
16th April 2022



7

5

Buck Moon  
13th July 2022



Flower Moon  
16th May 2022

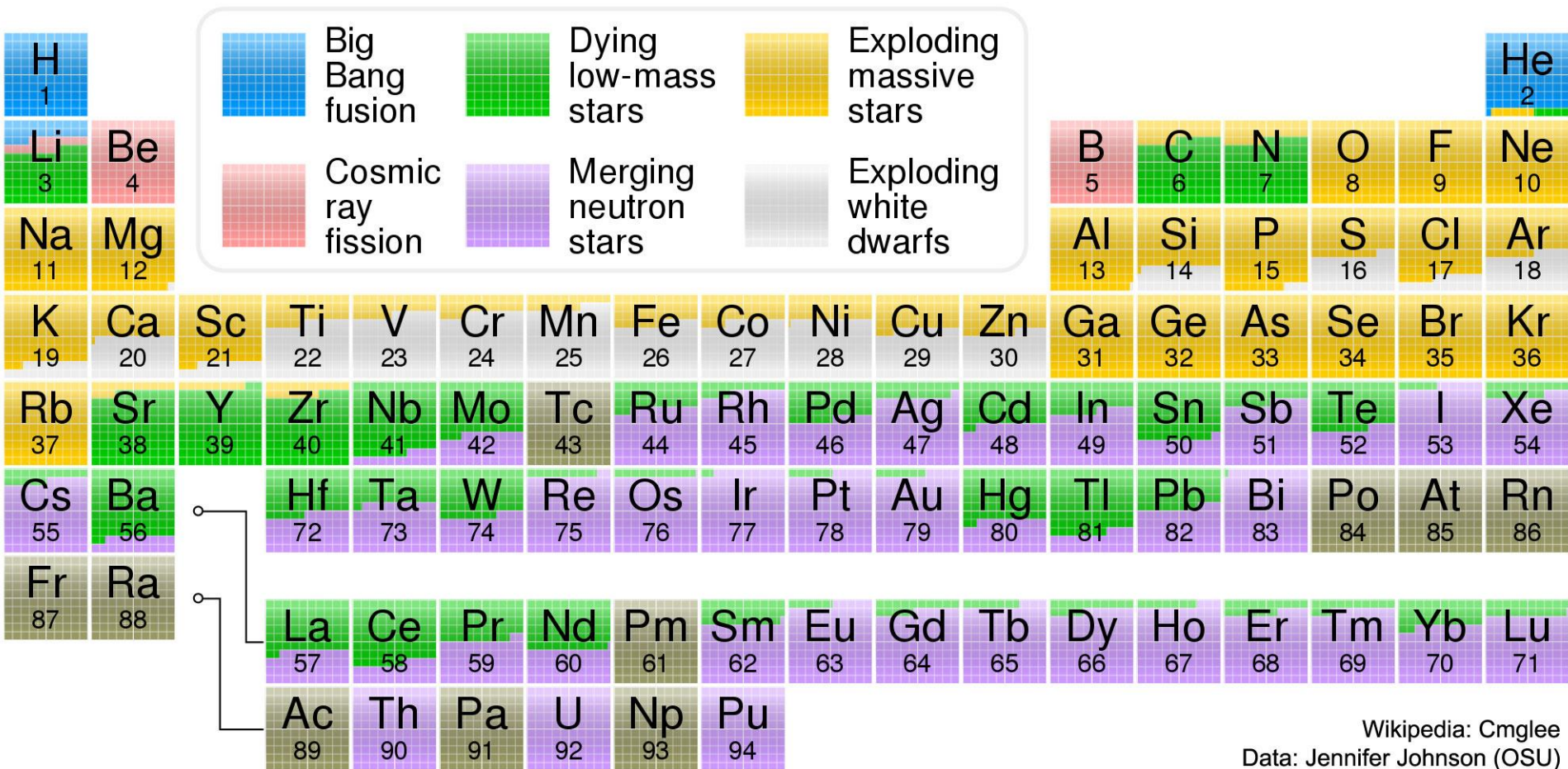


6



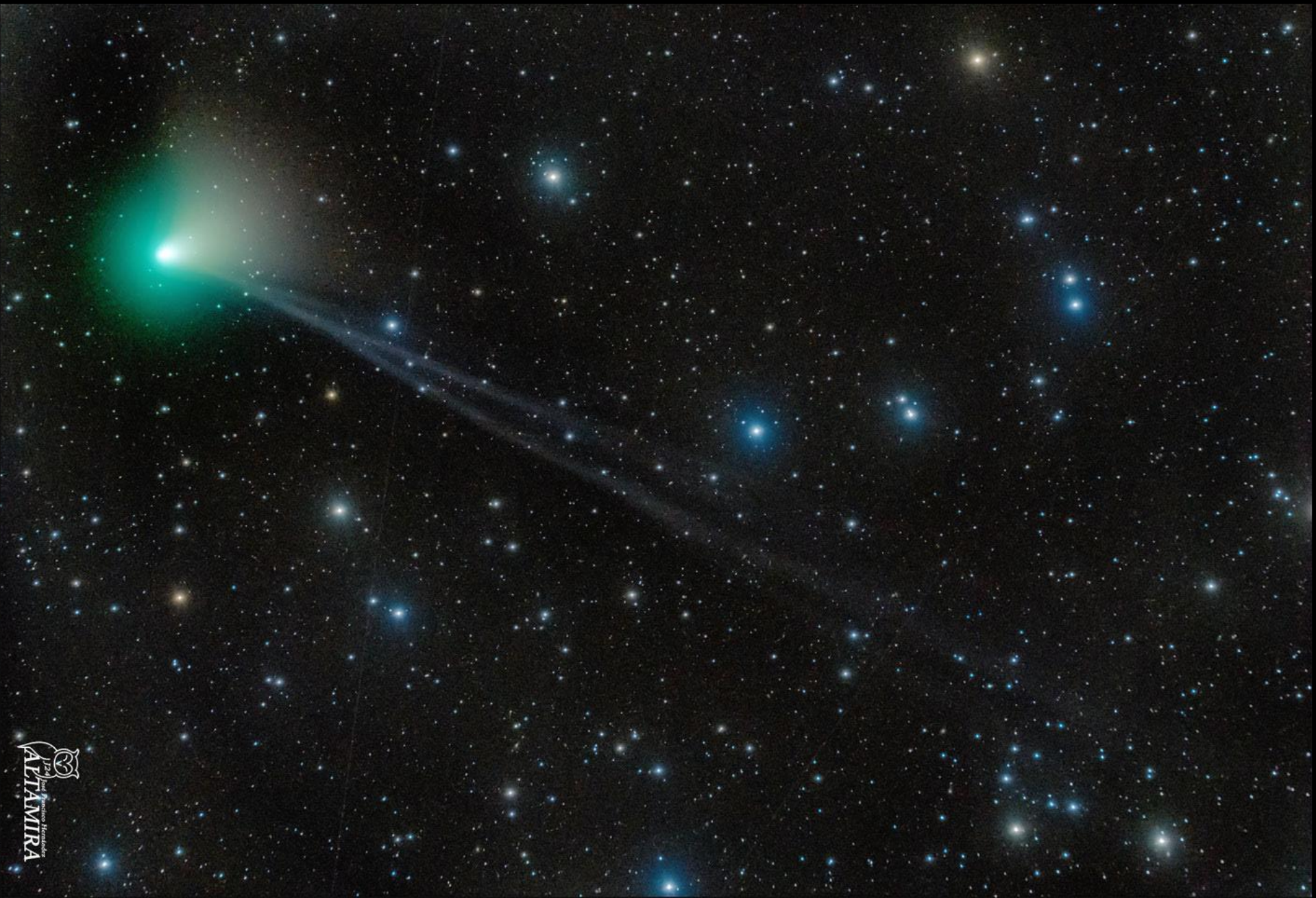
Strawberry Moon  
14th June 2022

Lunas Llenas del 2022. Cool –Frias; Wolf- de Lobo; Snow- de nieve; Worm-de gusano; Pink –rosas; Flower-de flores; Strawberry-de fresa; Buck- de dólar; Sturgeon- de esturión; Harvest- de cosecha; Hunter's- de cazador; Beaver-de castor. Desde Sri Lanka. El 2023 tendrá 13 lunas llenas. Nasa 6-1-2023.



De donde vienen tus alimentos. Big –Bang = fusión del Big-Bang. Dying low-mass stars=Estrellas de baja masa que mueren. Exploding massive stars= explosión de estrellas masivas. Cosmic ray fission= fisión de rayos cósmicos. Merging neutron stars =fusión de estrellas de neutrones. Sploding White dwarfs= explosión de enanas blancas. El hidrógeno de tu cuerpo, presente en cada molécula de agua, provino del Big Bang. No hay otras fuentes apreciables de hidrógeno en el universo. El carbono de tu cuerpo se hizo por fusión nuclear en el interior de las estrellas, al igual que el oxígeno. Gran parte del hierro de su cuerpo se produjo durante las supernovas de estrellas que ocurrieron hace mucho tiempo y muy lejos. Es probable que el oro de sus joyas se elaboró a partir de estrellas de neutrones durante colisiones que pueden haber sido visibles como estallidos de rayos gamma de corta duración o eventos de ondas gravitacionales. Elementos como el fósforo y el cobre están presentes en nuestros cuerpos solo en pequeñas cantidades, pero son esenciales para el funcionamiento de toda la vida conocida. La tabla periódica presentada está codificada por colores para indicar la mejor suposición de la humanidad en cuanto al origen nuclear de todos los elementos conocidos. Los sitios de creación nuclear de algunos elementos, como el cobre, no son muy conocidos y son temas continuos de investigación observacional y computacional. Nasa 8-1-2023.









Matt Dieterich

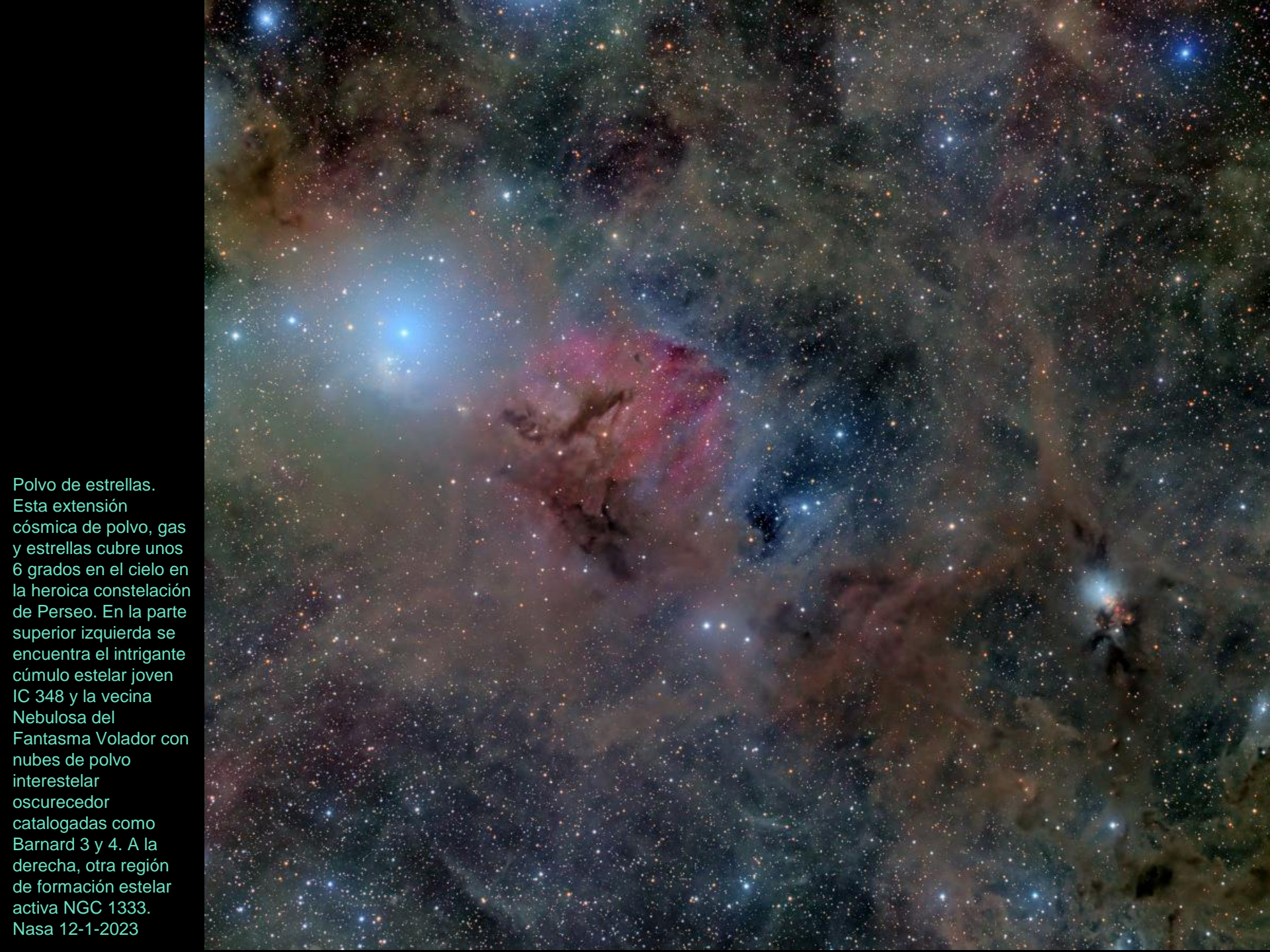
Nebulosa Cono NGC 2264 (imagen girada 90 ° a la derecha). Nasa 10-1-2023.





Auroras Boreales. A la izq. dos de las de internet. A la der. A.B. en espiral sobre Islandia. Nasa 11-1-2023.





Polvo de estrellas.  
Esta extensión  
cósmica de polvo, gas  
y estrellas cubre unos  
6 grados en el cielo en  
la heroica constelación  
de Perseo. En la parte  
superior izquierda se  
encuentra el intrigante  
cúmulo estelar joven  
IC 348 y la vecina  
Nebulosa del  
Fantasma Volador con  
nubes de polvo  
interestelar  
oscurecedor  
catalogadas como  
Barnard 3 y 4. A la  
derecha, otra región  
de formación estelar  
activa NGC 1333.  
Nasa 12-1-2023





(Imagen girada a la derecha 90°.)Cúmulo- cluster- de estrellas jóvenes. NGC346. En la Nube Pequeña de Magallanes. Nasa 13-1-2023.





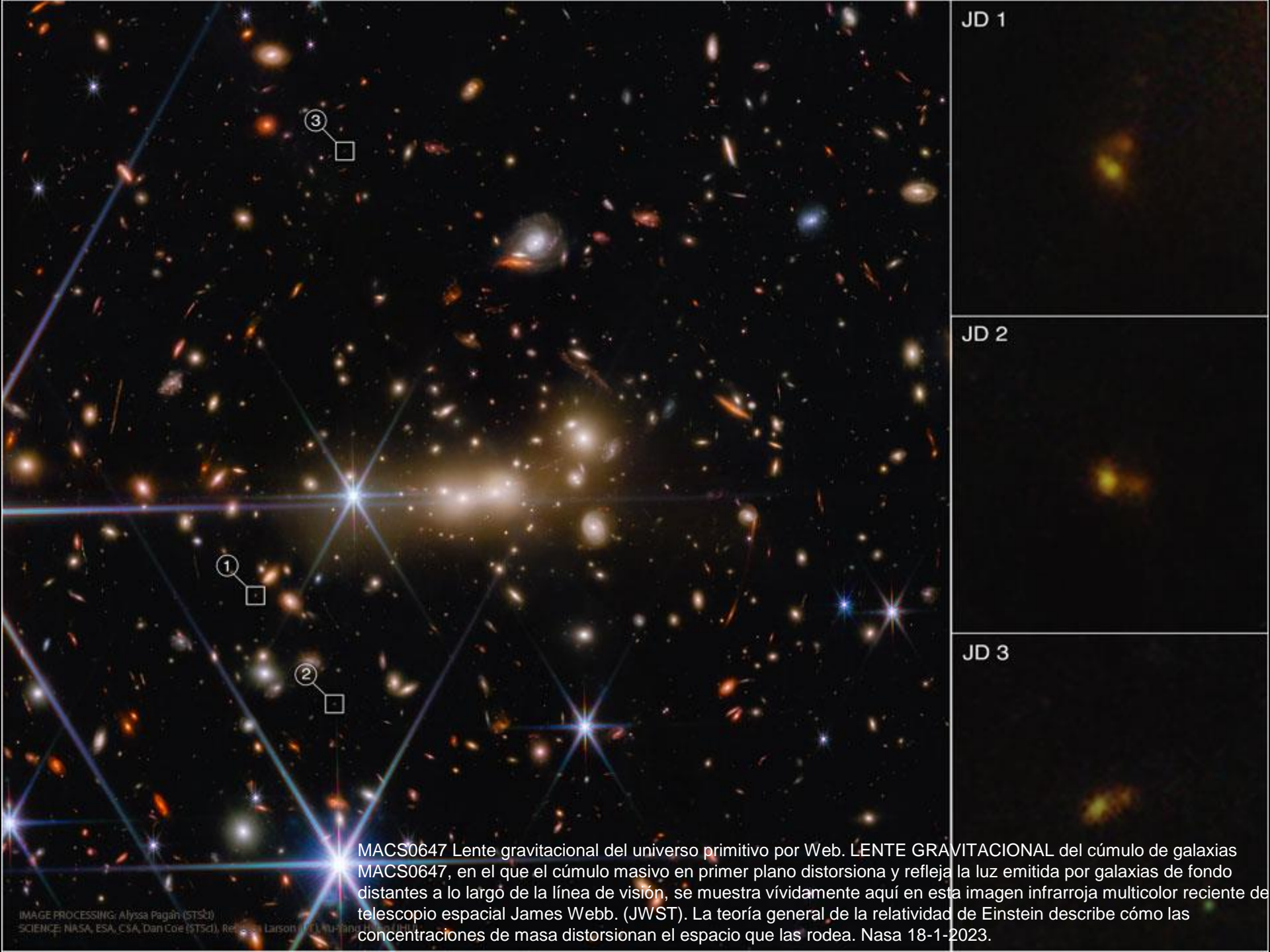
Luna. Recreación digital basada en la realidad. Las áreas oscuras, llamadas maria, tienen menos cráteres y alguna vez fueron mares de lava fundida. Además, los colores de la imagen, aunque basados en la composición real de la luna, están cambiados y exagerados. Aquí, un tono azul indica una región rica en hierro, mientras que el naranja indica un ligero exceso de aluminio. Nasa 16-1-2023.





Nubes inesperadas hacia la galaxia de Andr6meda. (¿qu6 son y porqu6 est6n esos arcos azules?- no se sabe) Nasa 17-1-2023

Yann Sairty and Marçel Drechsler



JD 1

JD 2

JD 3

3

1

2

MACS0647 Lente gravitacional del universo primitivo por Web. LENTE GRAVITACIONAL del cúmulo de galaxias MACS0647, en el que el cúmulo masivo en primer plano distorsiona y refleja la luz emitida por galaxias de fondo distantes a lo largo de la línea de visión, se muestra vívidamente aquí en esta imagen infrarroja multicolor reciente de telescopio espacial James Webb. (JWST). La teoría general de la relatividad de Einstein describe cómo las concentraciones de masa distorsionan el espacio que las rodea. Nasa 18-1-2023.

IMAGE PROCESSING: Alyssa Pagan (STScI)  
SCIENCE: NASA, ESA, CSA, Dan Coe (STScI), Reza Larsson (JHU), Mu-Yang Hwang (JHU)





Nebulosa Gaviota. Cerca de la dirección de Sirius, estrella alfa de la constelación Canis Major. Nasa 19-1-2023



Guerra de Galaxias. A la derecha la galaxia espiral M81- También llamada G. de Bode –presagiar-. A la izq. La G. irregular M82. Nasa 20-1-2023





Aurora sobre Noruega.  
Nasa 22-1-2023



ESA / HUBBLE ST © M. HAKAN ÖZSARAC

El chocar de las tres galaxias espirales de Arpa 274- o NGC 5679. Si dos galaxias se unen los agujeros negros de cada una de ellas se pueden unir también. Nasa 23-1-2023.

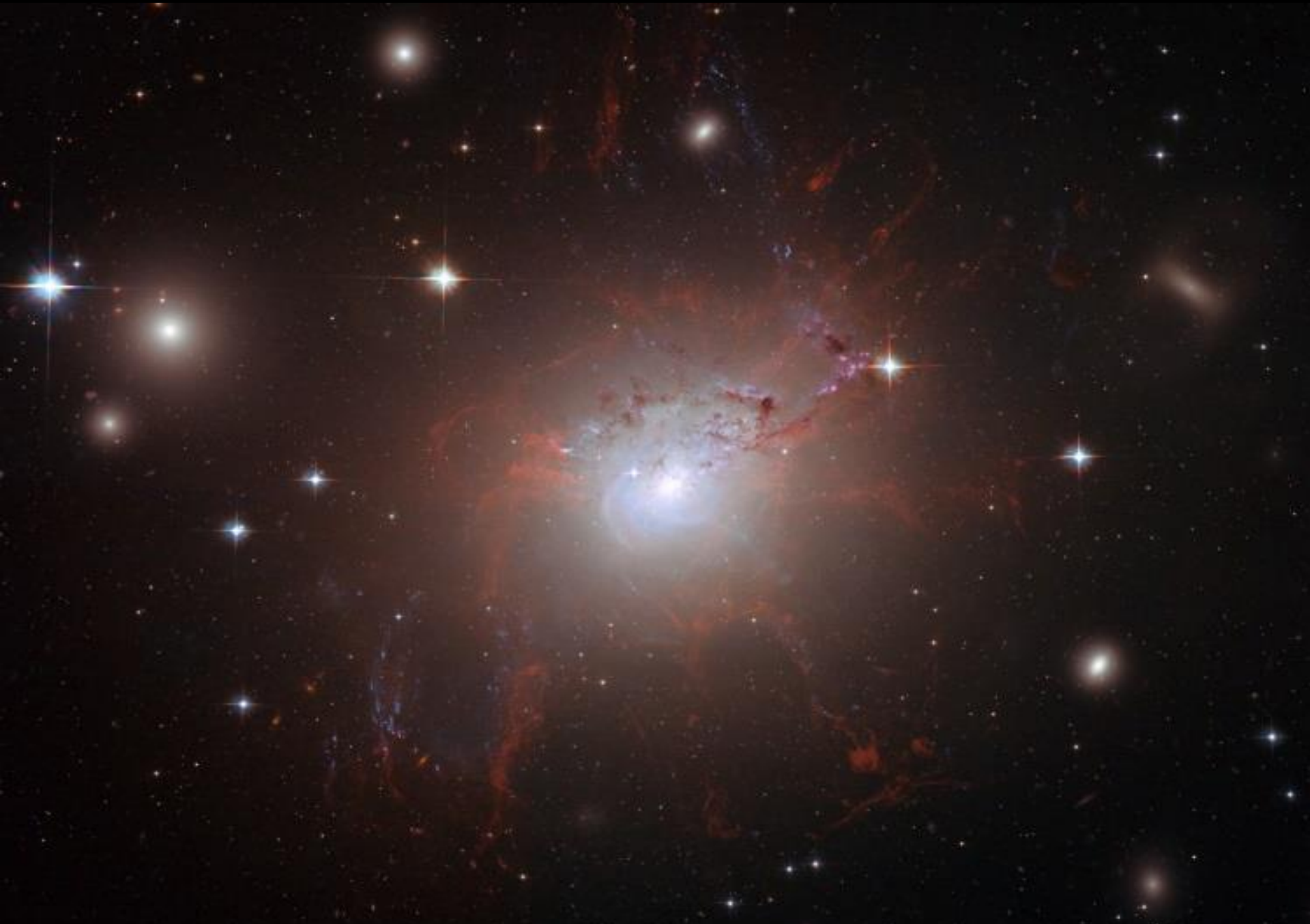




(imagen girada 90° a la der.) Nebulosa Hombre del Saco (boogeyman). La oscuridad de Lynds LDN 1622, contra un tenue fondo de gas de hidrógeno brillante solo visible en largas exposiciones telescópicas de la región. En contraste, la nebulosa de reflexión más brillante vdB 62 se ve más fácilmente justo a la derecha del centro en la imagen presentada. Nasa 25-1-2023

Joshua Calpe





Galaxia activa NGC 1275, miembro dominante del gran y relativamente cercano cúmulo de galaxias de Perseo. Es también una fuente prodigiosa de rayos X y emisión de radio. Nasa 26-1-2023.

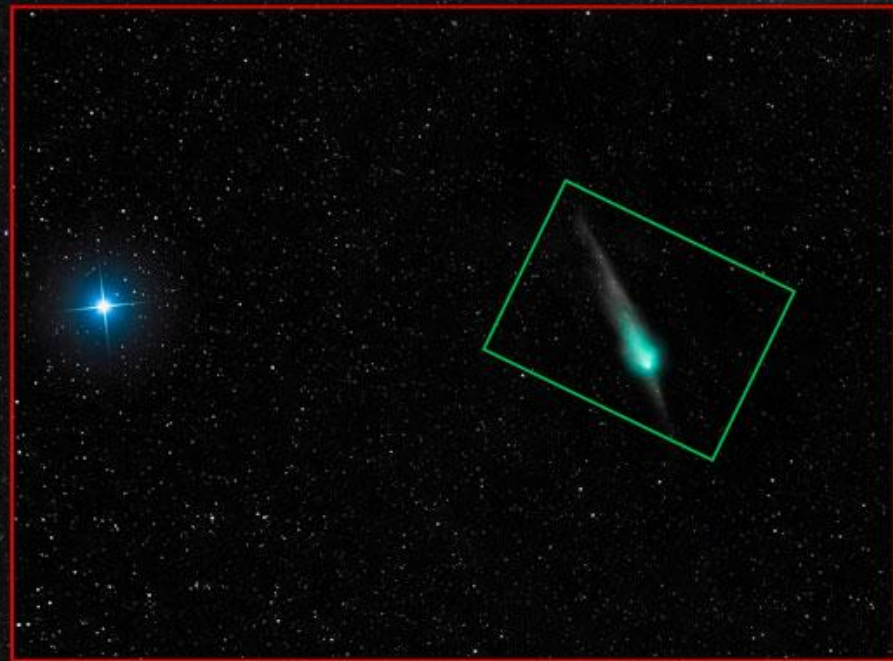


Nube  
molecular  
oscura  
Barnard 68.  
formada por  
polvo y gas  
molecular.  
Nasa 29-1-  
2023.





Vista triple del cometa ZTF. - sobre Cáceres, España- ha estado mostrando no sólo una común cola de polvo, cola de iones y coma de gas verde, sino también una anticola poco común y distintiva. La anticola en realidad no conduce al cometa, es solo que la cabeza del cometa se ve superpuesta en parte de la cola de polvo que se abre en abanico y se arrastra. La bola de nieve sucia gigante que es el cometa C/2022 E3 (ZTF) ahora ha pasado lo más cerca posible del Sol y mañana pasará lo más cerca posible de la Tierra. Nasa 31-1-2023.







Siete mundos orbitan la estrella enana ultrafría TRAPPIST-1. ([Transiting Planets and Planetesimals Small Telescope](#) (TRAPPIST)) (Telescopio pequeño de planetas y planetesimales en tránsito (TRAPPIST)), Nasa 1-2-2023



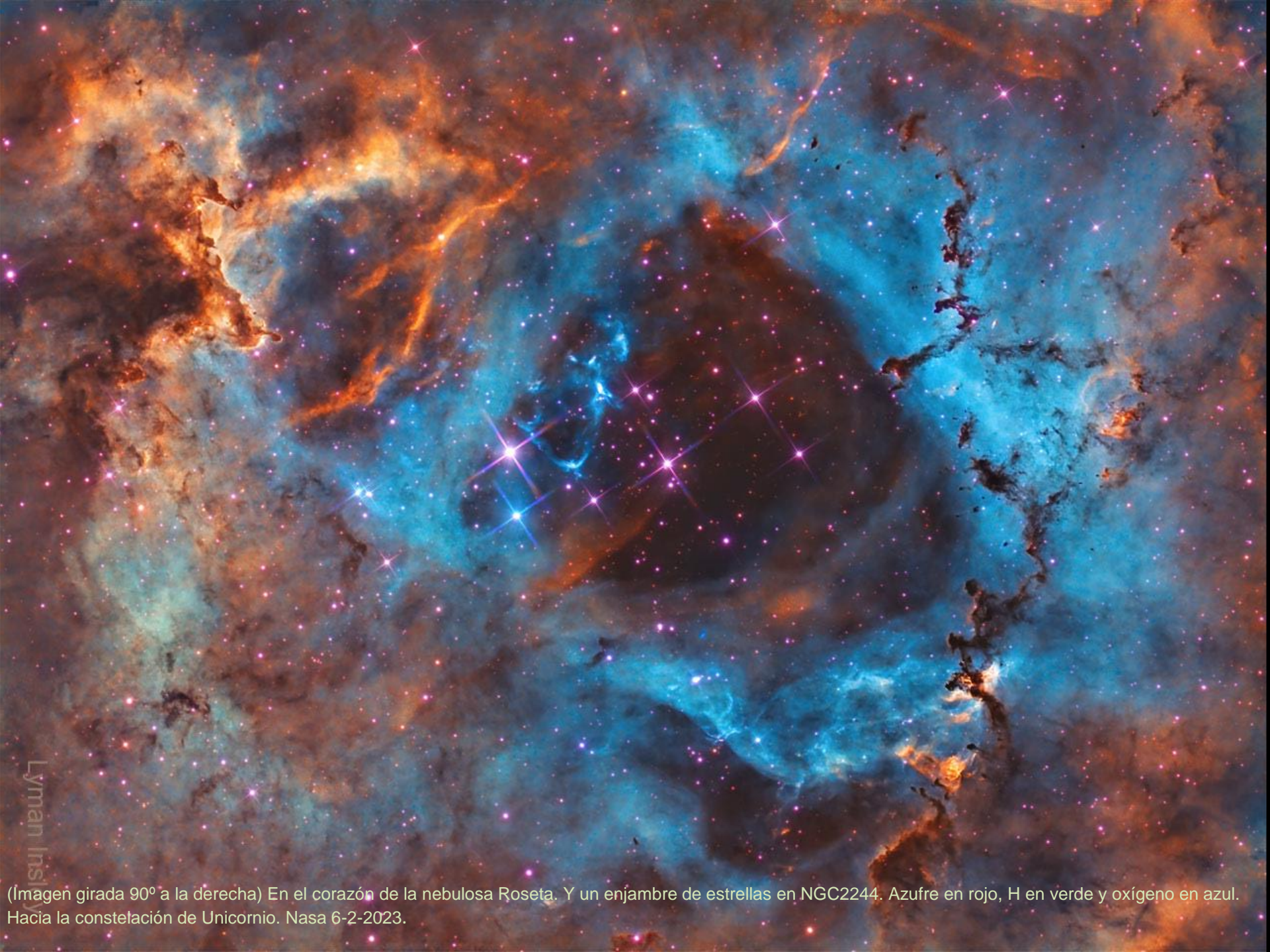
Los astrónomos a veces ignoran la década de 1970, como esta hermosa agrupación de nebulosas de reflexión en Orión (NGC 1977, NGC 1975 y NGC 1973), que generalmente se pasa por alto en favor del brillo sustancial de la guardería estelar cercana, mejor conocida como la Nebulosa de Orión. Nasa 2-2-2023.





Nebulosa NGC2626. Nubes de polvo molecular a lo largo de la cordillera molecular Vela, en el sur de la Vía Láctea. (lo rojo el H.) Nasa 4-2-2023.





Lyman Insil

(Imagen girada 90° a la derecha) En el corazón de la nebulosa Roseta. Y un enjambre de estrellas en NGC2244. Azufre en rojo, H en verde y oxígeno en azul. Hacia la constelación de Unicornio. Nasa 6-2-2023.





Nebulosa estelar en forma de viento RCW 58.-La estrella central en esta imagen es WR 40 que se encuentra hacia la constelación de Carina. Nasa 8-2-2023.





Nubes mammatus (mamma) sobre Hastings, Nebraska. Nasa 12-2-2023.





*Juan Cozaco*

Las nebulosas del Corazón- IC1805- y del Alma- IC 1871- abajo a la izq., en Casiopea. Nasa 14-2-2023.



Galaxia espiral rayada- en infrarrojos- NGC- 1365. Nasa 18-2-2023.





Siete Hermanas polvorientas en infrarrojo. (La M45-Hacia la constelación de Taurus. Nasa 19-2-2023.



Doble cluster estelar NGC1850,  
no se encuentra en la Vía Láctea.  
Nasa 20-2-2023.







Cometa ZTF- C/22-E3  
sobre Yosemite-USA.  
Nasa 21-2-2023.

Tara Mostofi





©-Josep M. Drúdis, 2023

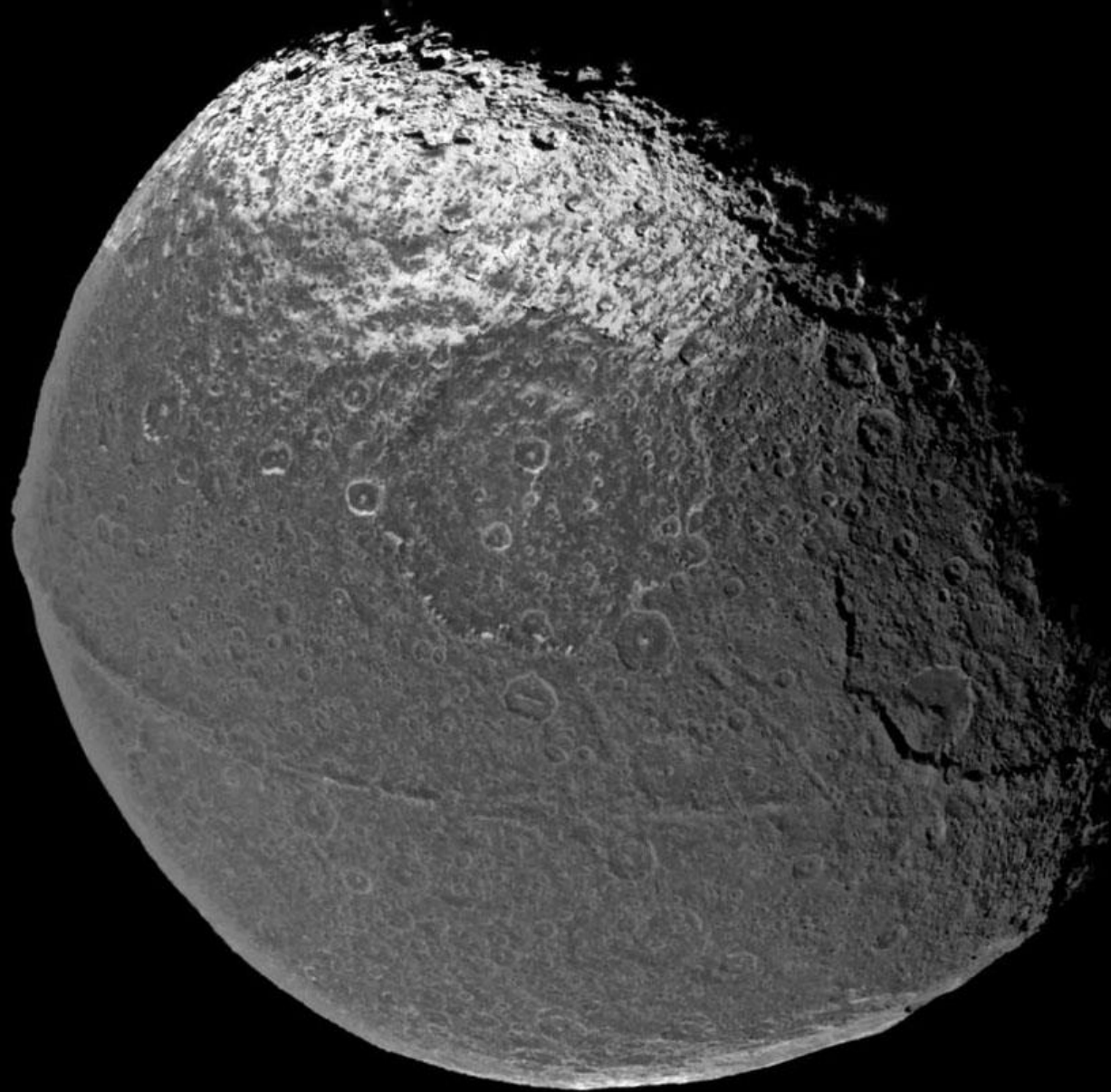
Arpa 78- NGC772. Una galaxia espiral, peculiar en Aries. Nasa 23-2-2023



24-2-2023



Nebulosa planetaria Jones Emberson PK 164 +31.1; restos de una estrella muerta. Hacia la constelación del Lince (Lynx) Nasa 24-2-2023



NASA, ESA, Cassini

Jápeto una de las lunas de Saturno. Con una extraña 'cicatriz' central, parece una nuez. Nasa 26-2-2023





Nebulosa Estrella Flamingo. y la nebulosa circundante IC 405 se llama Nebulosa de la Estrella Llameante, y aunque la nebulosa parece a algunos como una llama arremolinada, no hay fuego. Cometa ZTF. Nasa 1-3-2023.



Desenredando NGC 3169. Los brazos espirales enrollados se estiran en colas de marea a medida que NGC 3169 (izquierda) y la vecina NGC 3166 interactúan gravitacionalmente. Nasa 2-3-2023.



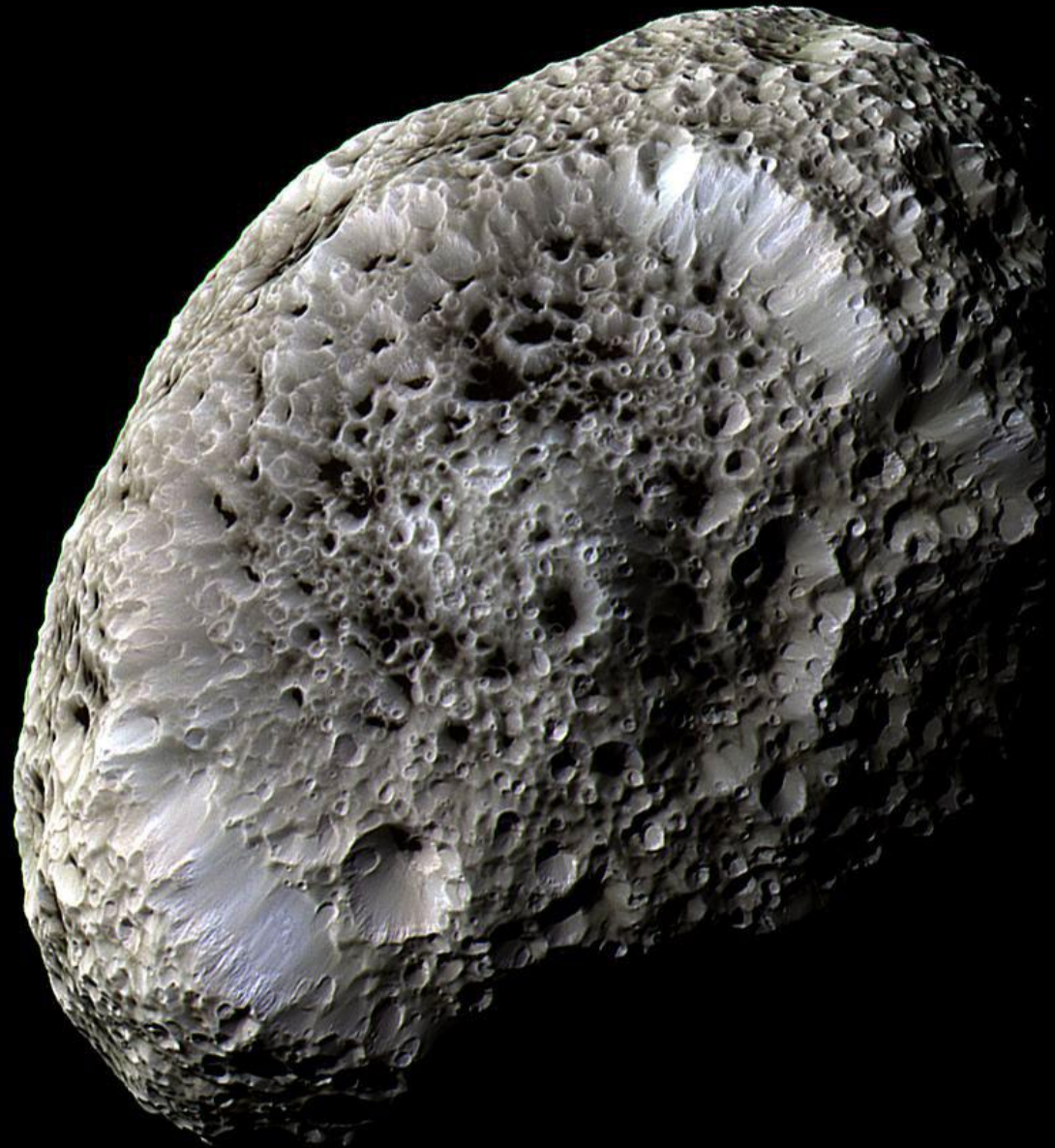






(Imagen girada 90° a la der.) La Gran Nebulosa en Orión- M42, y la nebulosa de reflexión azulada NGC 1977. Nasa 10-3-2023.









Nebulosa W5 El Alma- o Westerhoute-5. En dirección a la Constelación de Casiopea. Los colores rojo-el H, el amarillo el sulfuro, y el azul el O. Nasa 14-3-2023.





Nebulosa Niebla- o Abell 21, en Gémini. La radiación ultravioleta de la estrella caliente alimenta el resplandor nebuloso. La estrella transformadora de Medusa es la débil cerca del centro de la forma de media luna brillante general. Nasa 17-3-2023.



Rayo de Lobo 124: Vista infrarroja. Evolución masiva de estrella en la Vía Láctea. Nasa 18-3-2023.





Nebulosa Oscura y formación de estrellas en Taurus. Nasa 21-3-2023.





La galaxia Andr3meda, M31., distante a 2 millones a1os luz. Impresionante mosaico digital telesc3pico de quince horas. Nasa 22-3-2023.

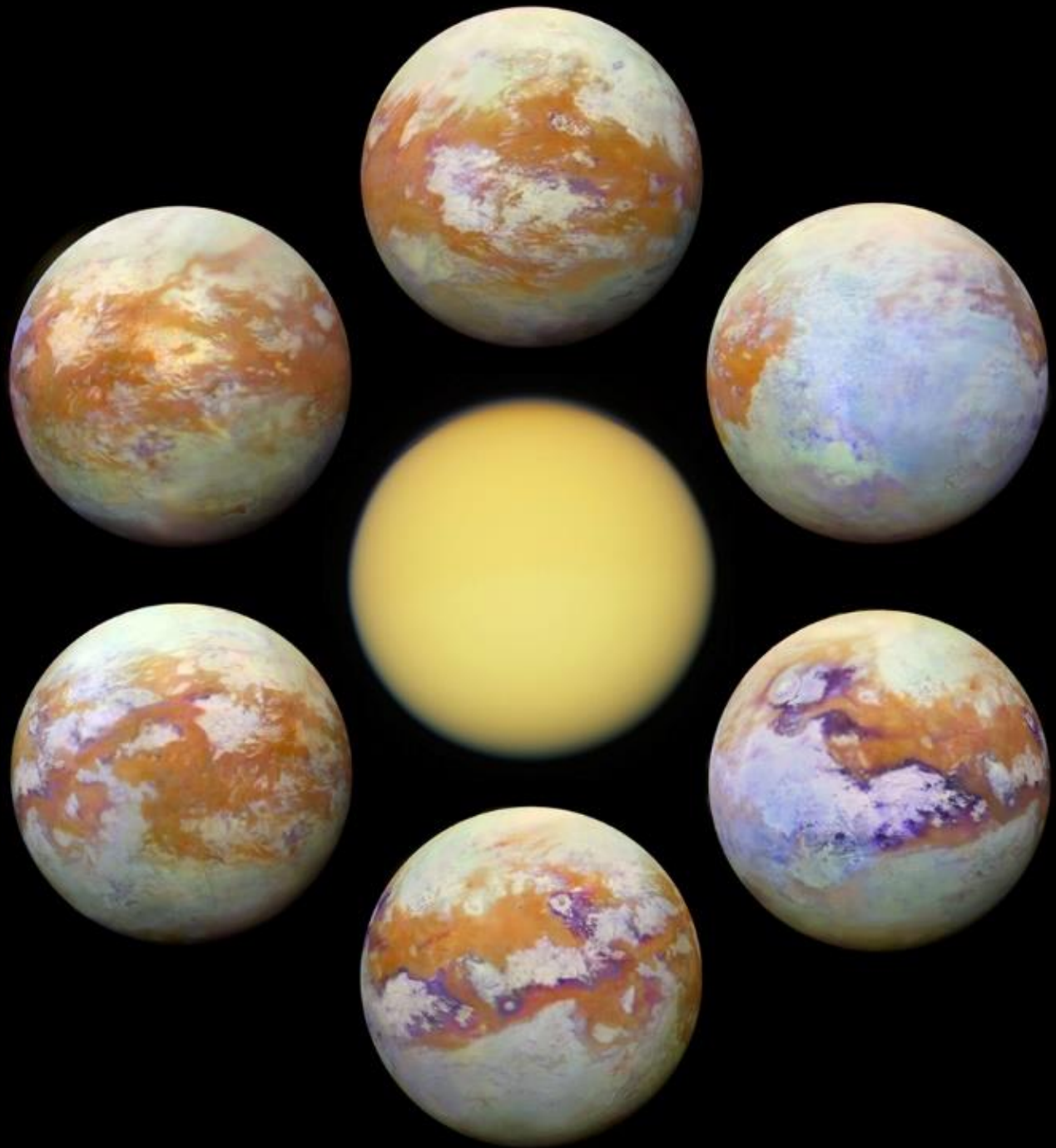
©Abdullah Al-Harbi





Allen Raig  
WWW.ASTROCAT.INFO

Sh2-308. Una burbuja de estrella en forma de delfín. Llamada Sh2-308 y denominada Nebulosa Cabeza de Delfín, la bola de gas se encuentra a unos 5.000 años luz de distancia y cubre tanto cielo como la luna llena, aunque es mucho más tenue. Nasa 29-3-2023.



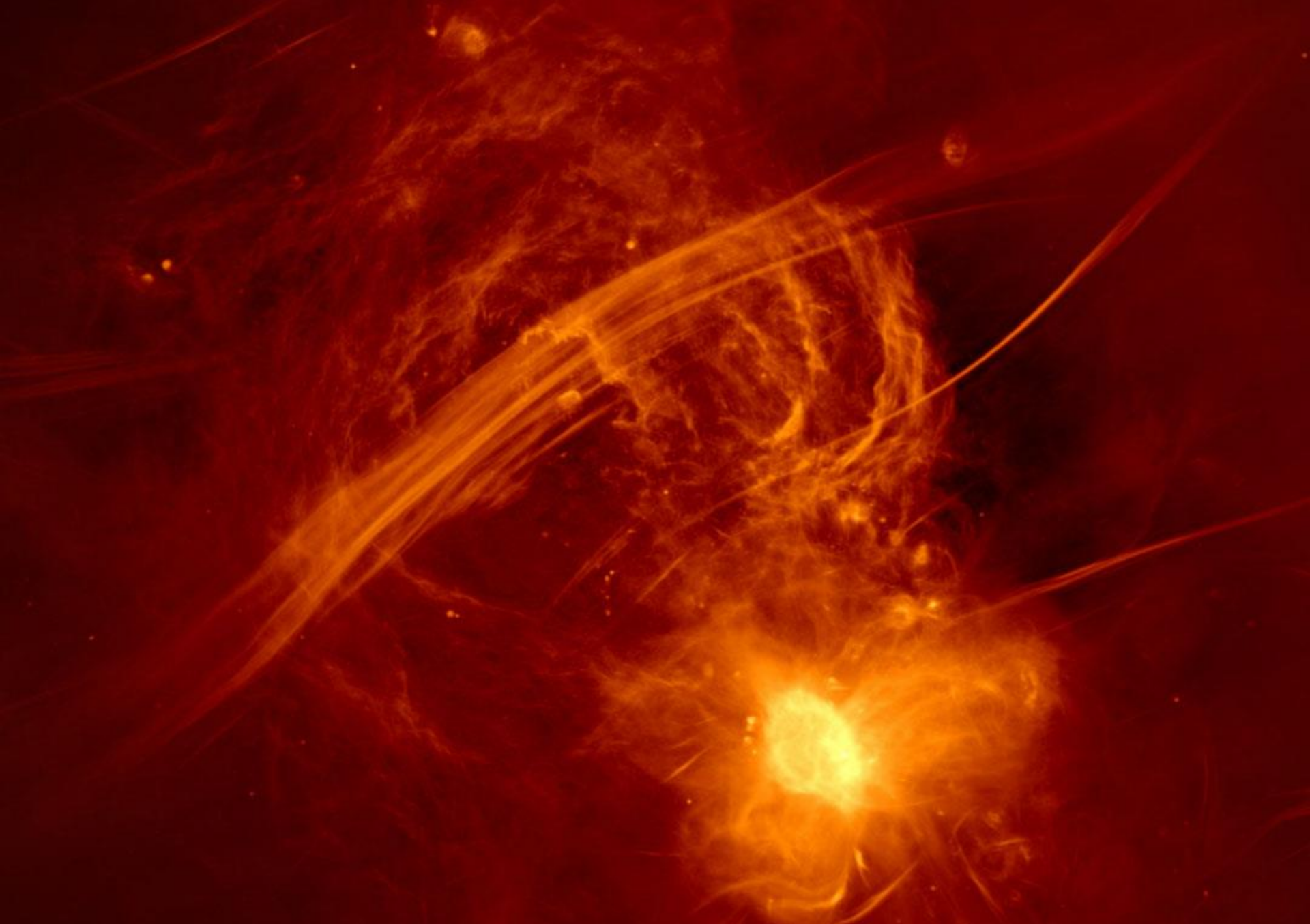
Viendo Titán, Luna de Saturno. Envuelto en una atmósfera densa, Titán, la luna más grande de Saturno, es realmente difícil de ver. vistas infrarrojas globales más claras de la tentadora luna hasta el momento. En color falso, los seis paneles presentan un procesamiento consistente de 13 años de datos de imágenes infrarrojas del espectrómetro de mapeo visual e infrarrojo (VIMS) a bordo de la nave espacial Cassini que orbitó Saturno desde 2004 hasta 2017. Nasa 31-3-2023





NGC2442 Galaxia distorsionada, al sur de la constelación en Piscis.. Nasa 1-4-2023

*NASA*



I. Heywood, SRAO

Arcos. La estructura de radio brillante en la parte inferior derecha rodea un agujero negro en el Centro Galáctico y se conoce como Sagitario A\*. Nasa 3-4-2023.





ESA/DLR/FU Berlin  
Processing: Andrea Luck

Monte Olimpo: el volcán- de escudo, con lava fluida- más grande del sistema solar, en Marte. Tres veces más alto que el Everést. Nasa 4-4-2023



Galaxia de Rubin, hacia la constelación de Pegasus, y bien dentro de nuestra propia galaxia, la Vía Láctea. En un enfoque nítido más allá está UGC 2885.  
Nasa 5-4-2023





Estrella Rigel, el pie de Orión el Cazador en la noche del planeta Tierra. Su color azul indica que es mucho más caliente que su supergigante rival en Orión, la amarillenta Betelgeuse (Alpha Orionis). Nasa 7-4-2023.





Nebulosa Huevo en luz polarizada. La estrella en el centro está arrojando capas de gas y polvo a medida que se transforma lentamente en una estrella enana blanca. Hacia el norte de la Constelación de Cisne. Nasa 9-4-2023.





La nebulosa del Pollo Corriendo- IC2944.- Zona de formación estelar. Hacia la constelación de Centauro. Nasa 10-4-2023.

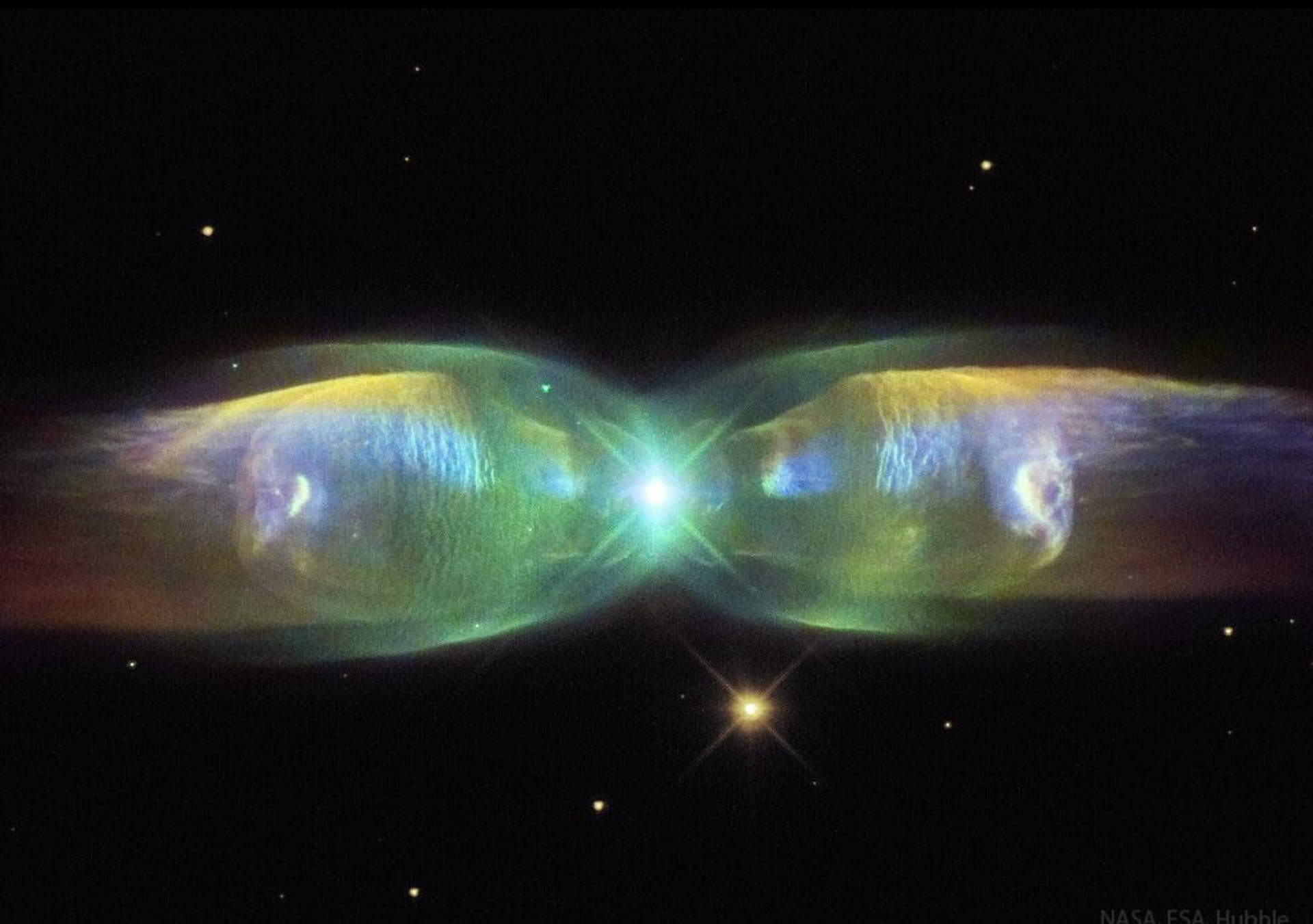
Daniel Stern





NGC 3628-Galaxia espiral o G. de la Amburguesa. Muestran un disco galáctico hinchado dividido por franjas de polvo oscuro. Nasa 14-4-2023.





M2-9. Alas de una nebulosa de mariposa. Son estrellas mejor apreciadas por su arte después de su muerte?. Son enanas blancas. La envoltura expulsada de la estrella moribunda sale del disco creando la apariencia bipolar. Nasa 16-4-2023.

NASA, ESA, Hubble  
Processing: Judy Schmidt



Valter Peruzzi

Relámpago sobre Italia. Elfos. Cuando un rayo produce poderosos pulsos electromagnéticos, haciendo que las moléculas de nitrógeno brillen . Nasa 17-4-2023.



Nasa 19-4-2023



*J. C. Casado*  
STOCKPHOTO

Tormenta auroral sobre Laponia



(Imagen girada 90° hacia la izquierda). Guardería Estelar NGC1333. en Perseo. Nasa 22-4-23.





Tromba marina en Florida. Nasa 23-4-2023.

© Joey Mole



El remanente de la supernova de la nebulosa de la Médula. CTB-1. Nasa 24-4-2023

Kimberly Sibbald



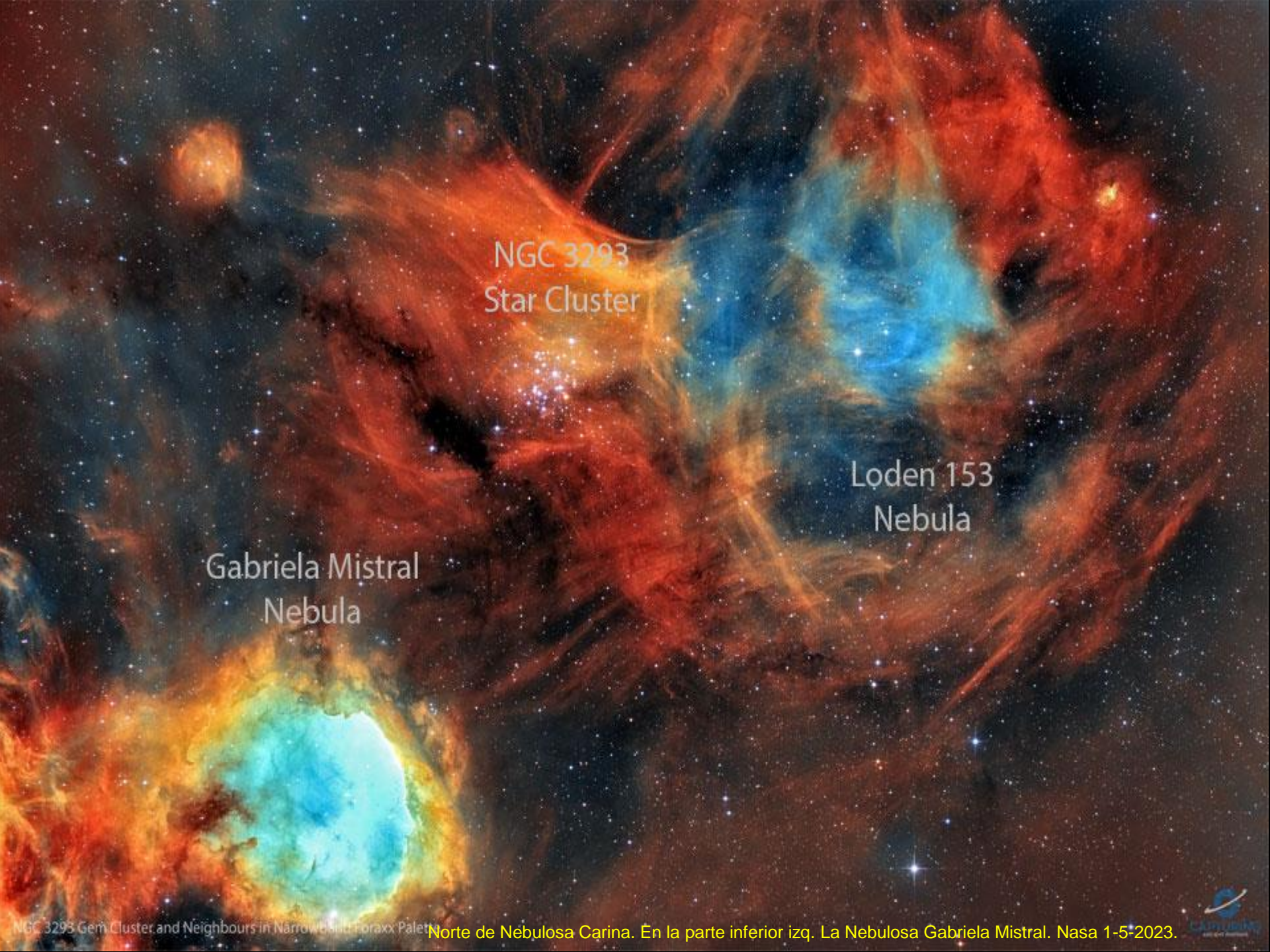


Nebulosa Tarántula –o 30 Duradus-Cerca de la Gran Nube de Magallanes. Nasa 27-4-2023



Helena, luna de Saturno-en color. Aunque sus colores pueden ser sutiles, la luna es un enigma bajo cualquier luz La imagen de arriba también muestra un terreno que parece inusualmente suave y rayado. gira alrededor de Saturno justo por delante de la gran luna Dione, lo que la convierte en una de las cuatro únicas lunas saturnianas conocidas que ocupan un punto gravitatorio conocido como un punto de Lagrange estable. Nasa 30-4-2023





NGC 3293  
Star Cluster

Loden 153  
Nebula

Gabriela Mistral  
Nebula

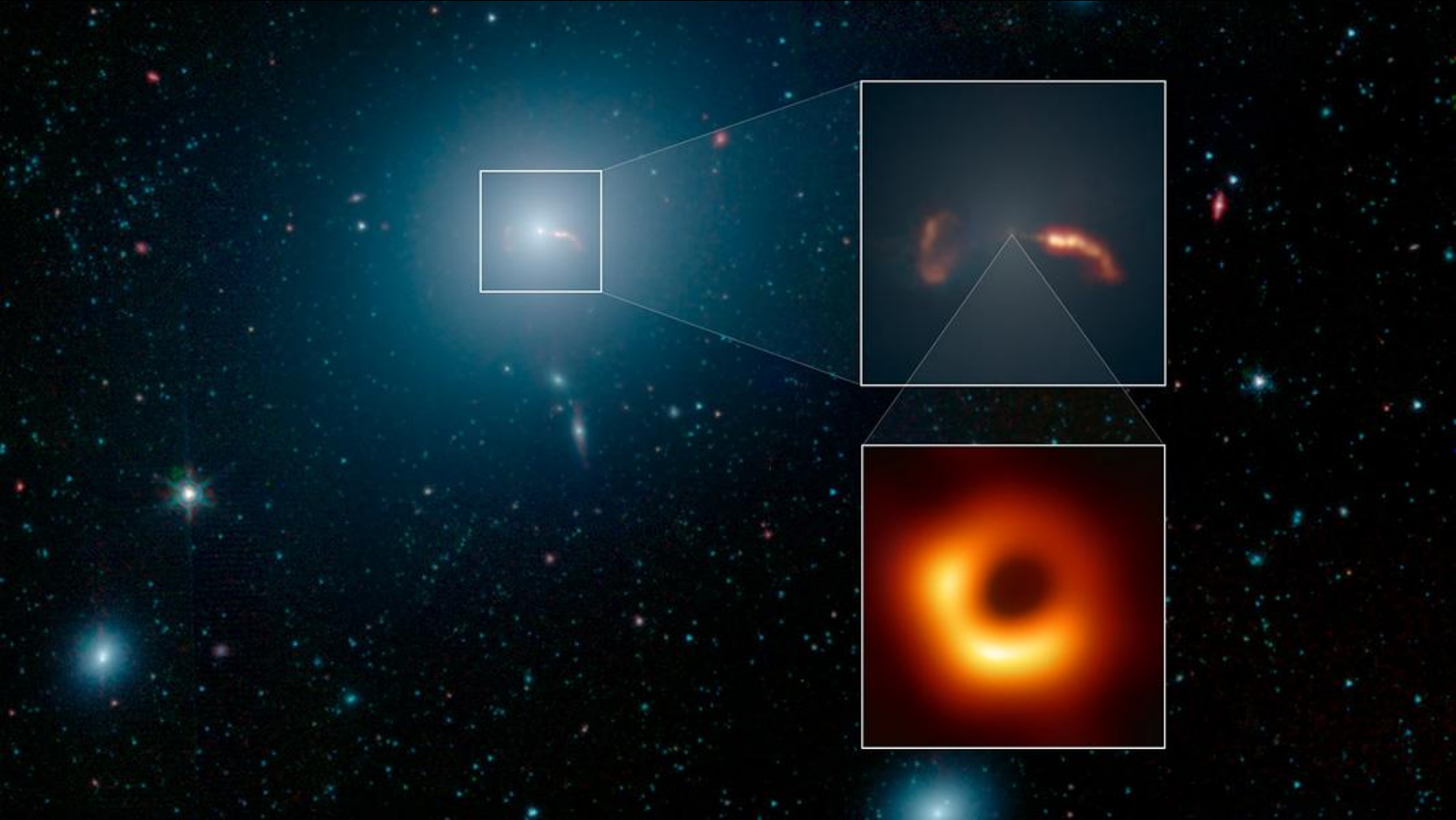






(Imagen girada a la der. 90°) Centauro A- o NGC 5128, una peculiar isla de estrellas. Una fusión entre una galaxia elíptica y una espiral. Nasa 3-5-2023.





La Galaxia Messier 87 (M87) alberga el agujero negro supermasivo capturado en 2017 por el Event Horizon Telescope del planeta Tierra en la primera imagen de un agujero negro.. El Jet y un famoso Agujero Negro. Nasa 4-5-2023





Nebulosa Hélice-  
7293. Nasa 7-5-2023.



Milky

Way

Galaxy

Rho  
Ophiuchi  
Star Clouds

White Desert

Egypt





© Gianni Lacroce

M16: Campo Profundo de la Nebulosa del Águila. S en amarillo, el H en rojo y el O en azul. Nasa 15-5-2023.



WR-134 Nebulosa Anillo. Con filtros de banda estrecha. En los límites de la constelación Cisne. Secciones de burbujas o capas de material arrastradas por el viento desde la estrella Wolf-Rayet WR 134, la estrella más brillante cerca del centro del encuadre. Nasa 18-5-2023.

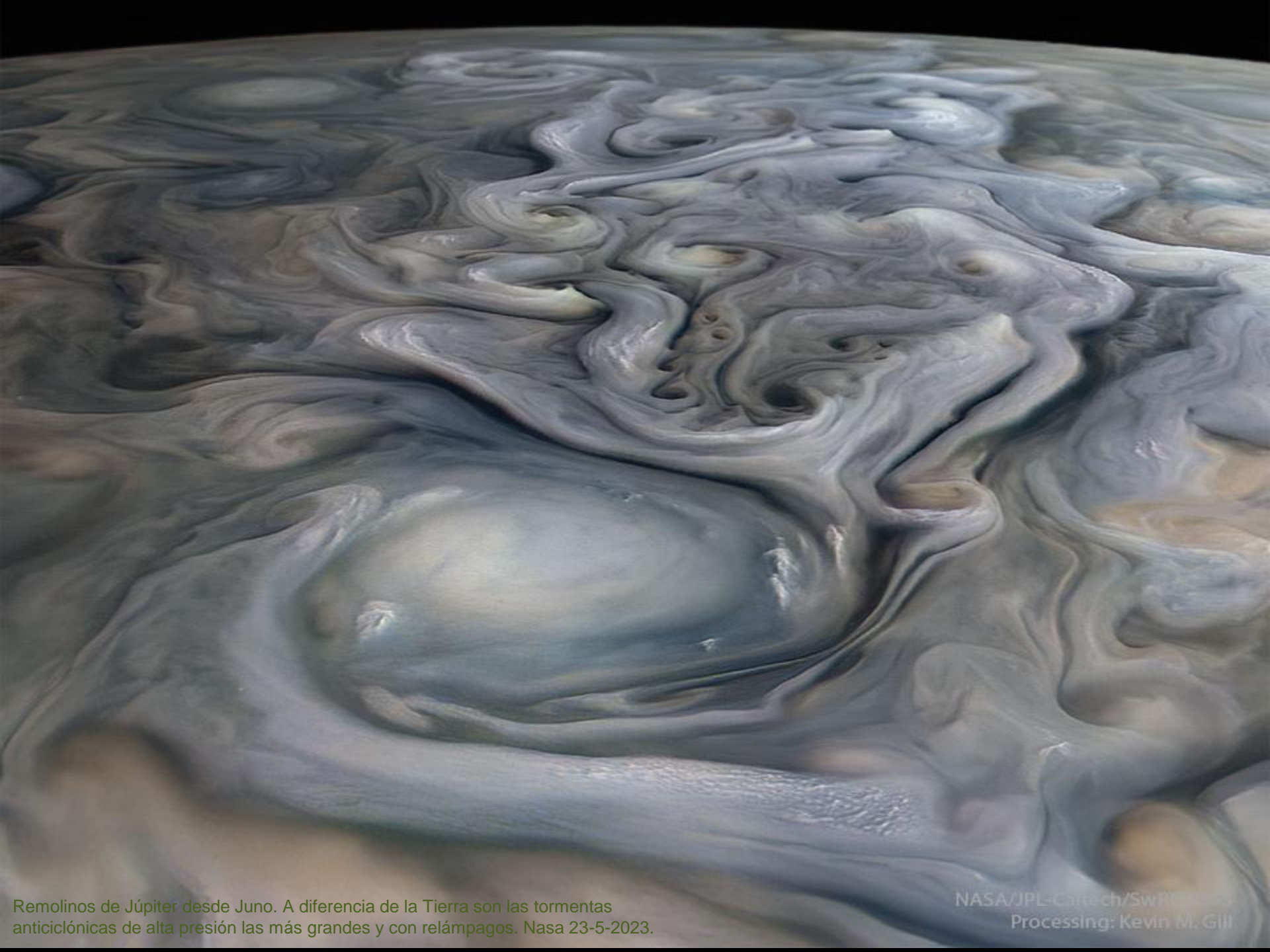


Spiral Galaxy M101  
2023 April 20



Supernova  
descubierta en la  
galaxia espiral  
cercana M101.  
``Ver el original en  
el 22-5-2023.





Remolinos de Júpiter desde Juno. A diferencia de la Tierra son las tormentas anticiclónicas de alta presión las más grandes y con relámpagos. Nasa 23-5-2023.

NASA/JPL-Caltech/SwRI/ETHZ  
Processing: Kevin M. Gill



Nebulosa Ojo de Gato ancha y profunda- NGC6543. Con un halo exterior extremadamente tenue. Nasa 25-5-2023.





Galaxias del cluster Virgo. M-87 en el centro-abajo, y M-84 y M86 arriba y abajo a la izq. Nasa 26-5-2023.

©Abdullahi Al-Harbi

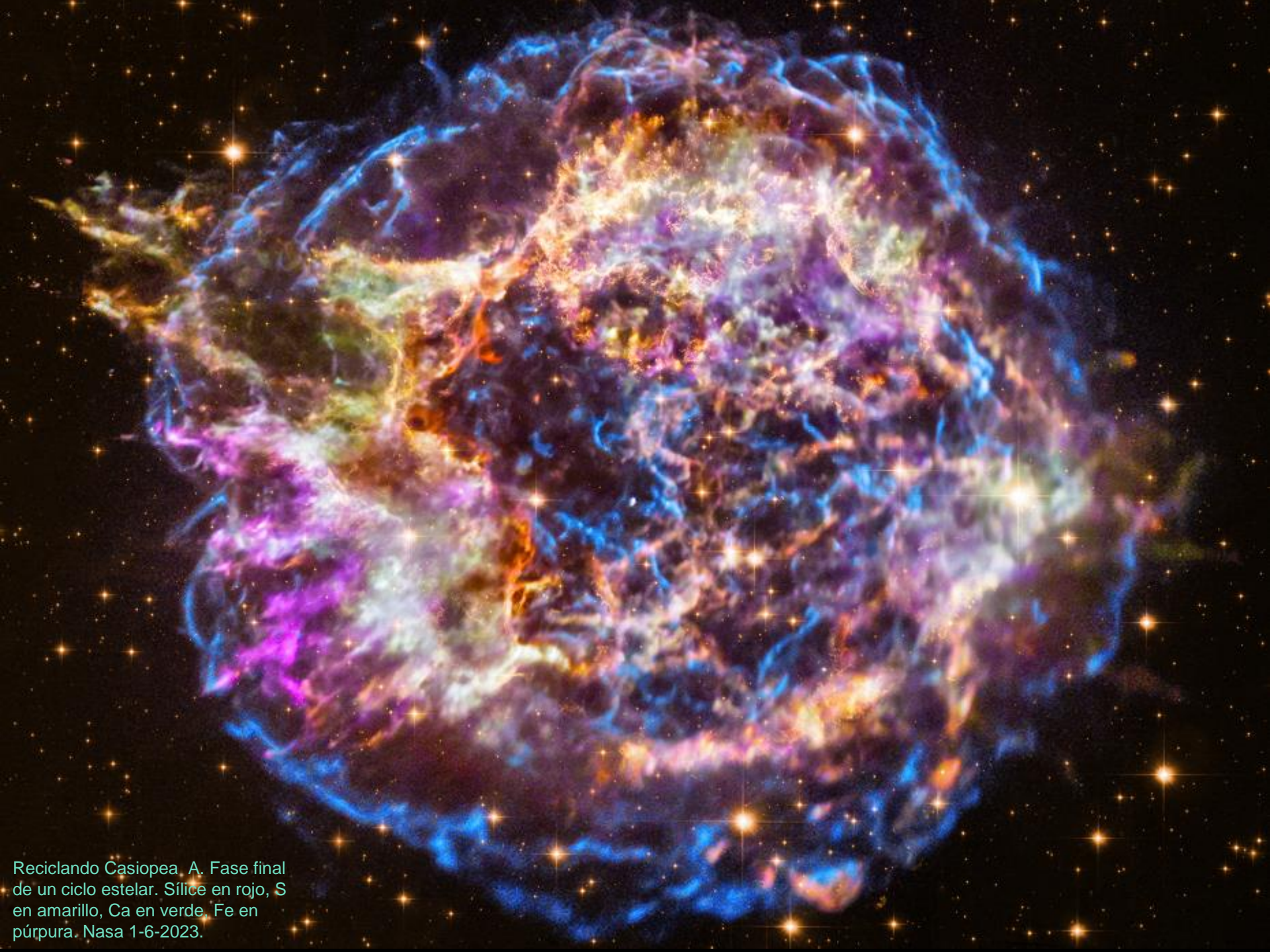




Nebulosa planetaria- Dumbbell- M27. Hacia la constelación del Zorro. (Aquí el rojo es el S, el verde el H, y el azul el O. Nasa 30-5-2023

Patricio A. Cosgrove





Reciclando Casiopea A. Fase final de un ciclo estelar. Silíce en rojo, S en amarillo, Ca en verde. Fe en púrpura. Nasa 1-6-2023.





Charon, luna de Plutón. Con las llamadas capas Mácula Mordor- lo beige del norte. Con un anillado- de fracturas- de la luna. Para separar las suaves llanuras del sur del variado terreno del norte. Nasa 3-6-2023.





En el centro de la nebulosa Trífida- M-20. Nasa 5-junio-2023

Martin



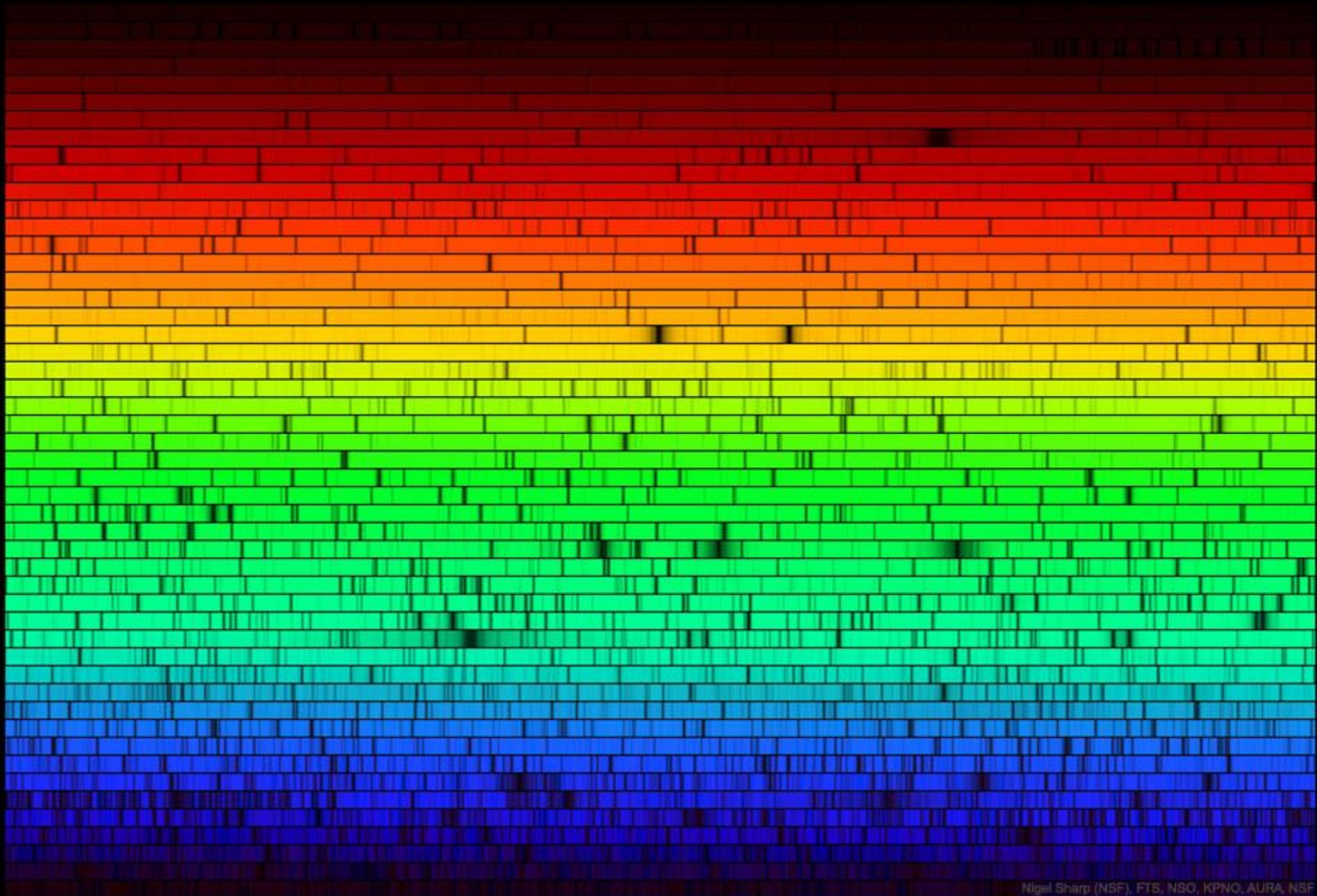
Galaxia M-94, de doble anillo. El interior es más nuevo y es el formador de estrellas. Un nudo de estrellas conocido como barra gira en M-94 y ha generado una explosión de estrellas. Nasa 7-6-2023.





Nebulosa Trompa de Elefante- vdB 142, y Caravana y cluster de estrellas jóvenes, complejo IC-1396, en constelación de Cefeo. Nasa 8-6-2023





Nigel Sharp (NSF), FTS, NSO, KPNO, AURA, NSF

El Sol y sus colores desaparecidos. Nasa 11-6-2023.

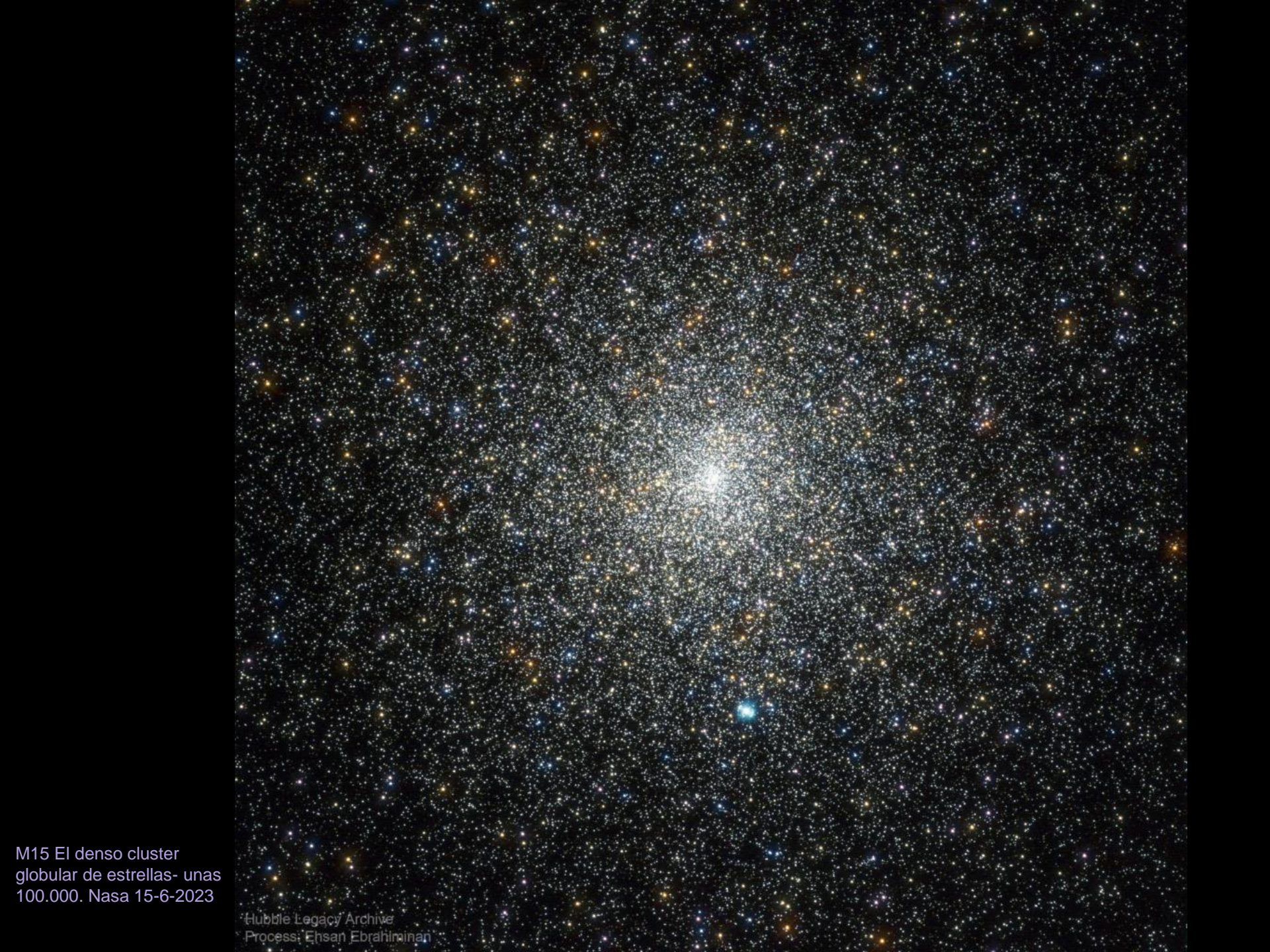




Stephen Kennedy

(Imagen girada 90° a la der.) Nebulosa Tiburón. Nasa 14-6-2023.

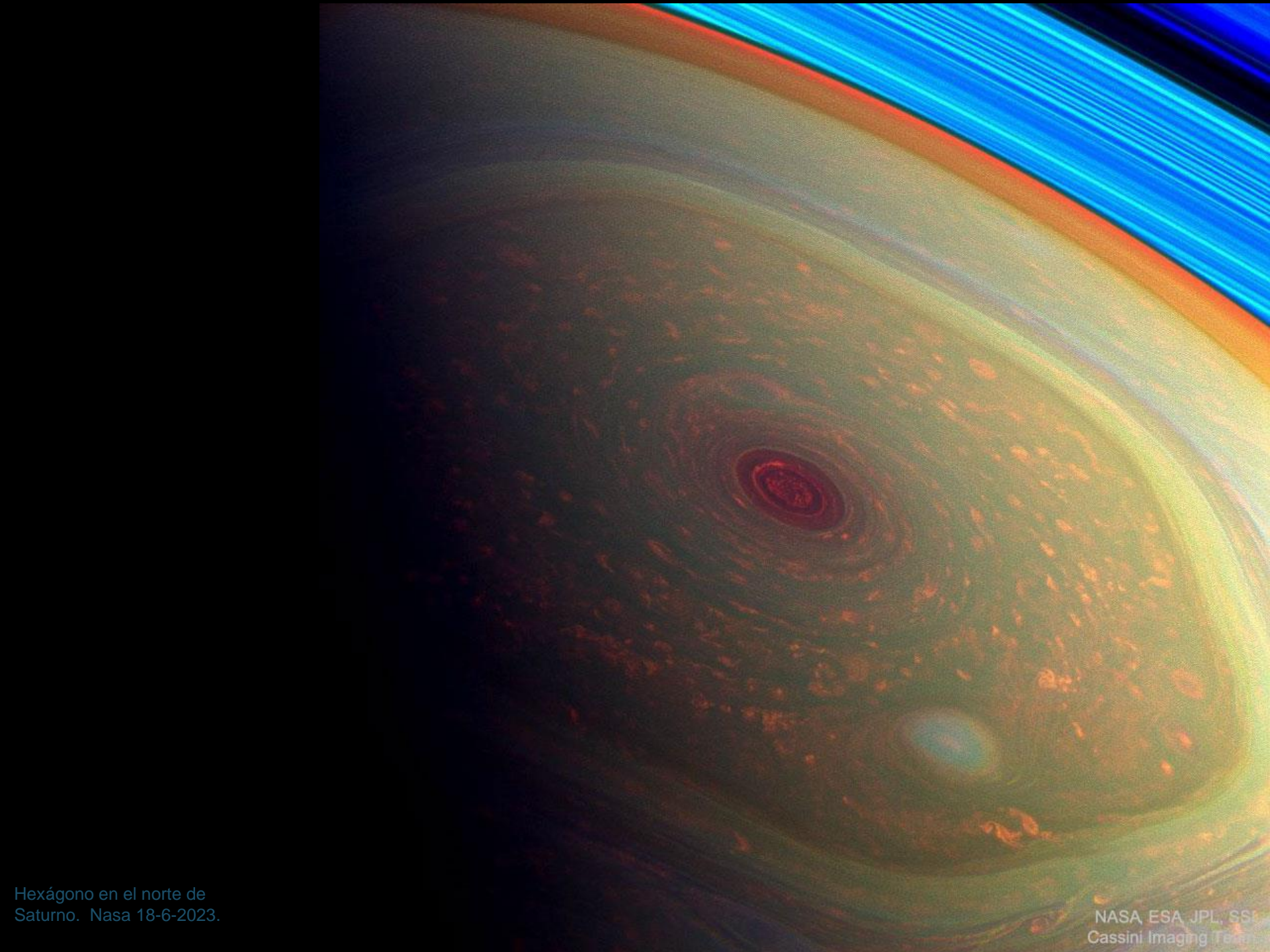




M15 El denso cluster  
globular de estrellas- unas  
100.000. Nasa 15-6-2023

Hubble Legacy Archive  
Process: Ehsan Ebrahimi





Hexágono en el norte de Saturno. Nasa 18-6-2023.

NASA, ESA, JPL, SSI  
Cassini Imaging Team







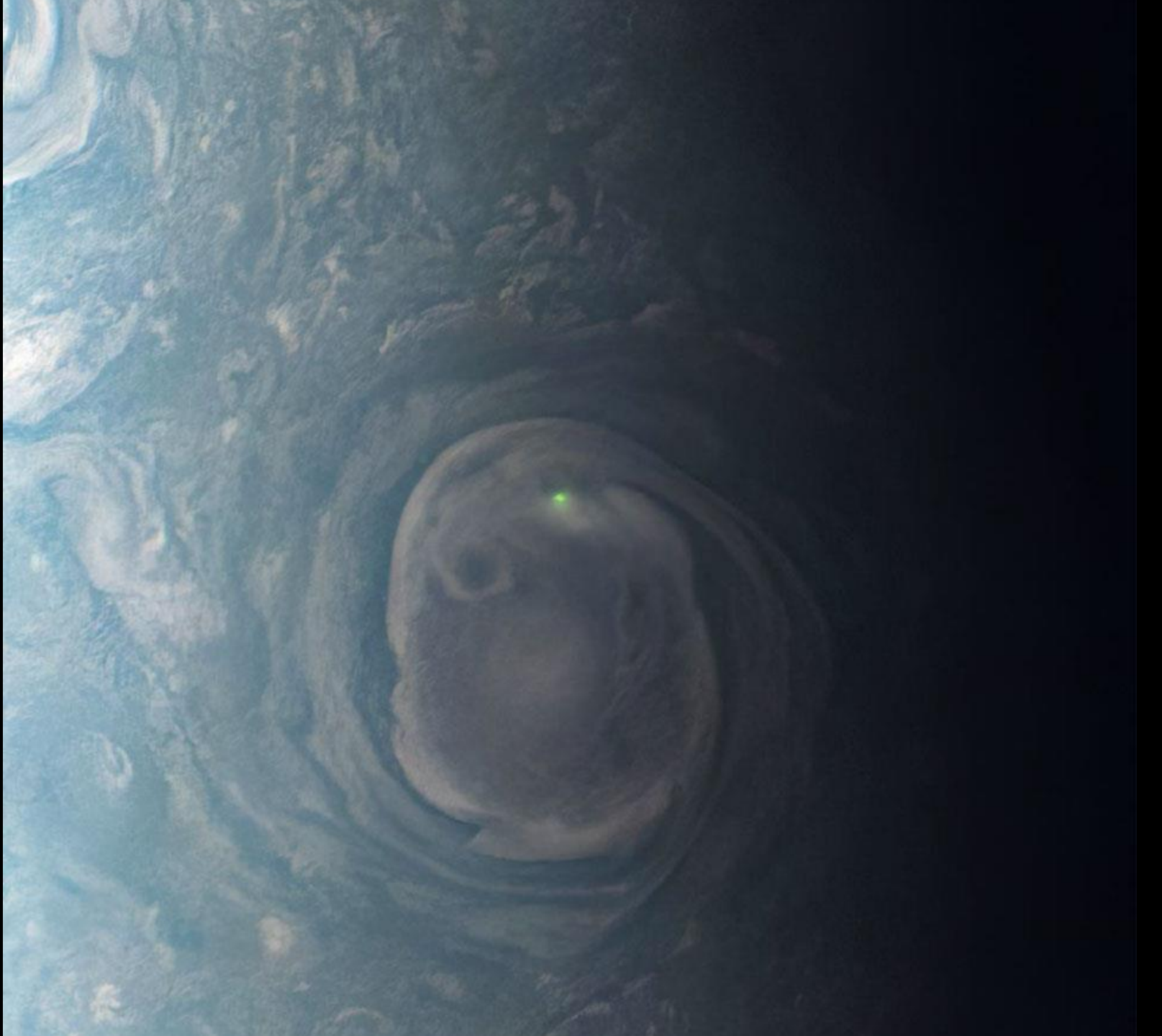


Estrellas y polvo a lo largo de la Corona Australis. La gran nebulosa oscura Bernes 157 está a la izquierda. A su derecha hay un grupo de bonitas nebulosas de reflexión catalogadas como NGC 6726, 6727, 6729 e IC 4812. Su característico color azul se produce cuando la luz de las estrellas calientes se refleja en el polvo cósmico. La NGC 6729, más compacta, rodea a la joven estrella variable R Coronae Australis. Justo debajo, los arcos y bucles filamentosos se identifican como objetos Herbig Haro asociados con estrellas recién nacidas energéticas. De hecho, en el corazón de esta área se encuentra el Cúmulo Corona, una de las regiones de formación estelar más cercanas y activas. Nasa 22-6-2023.

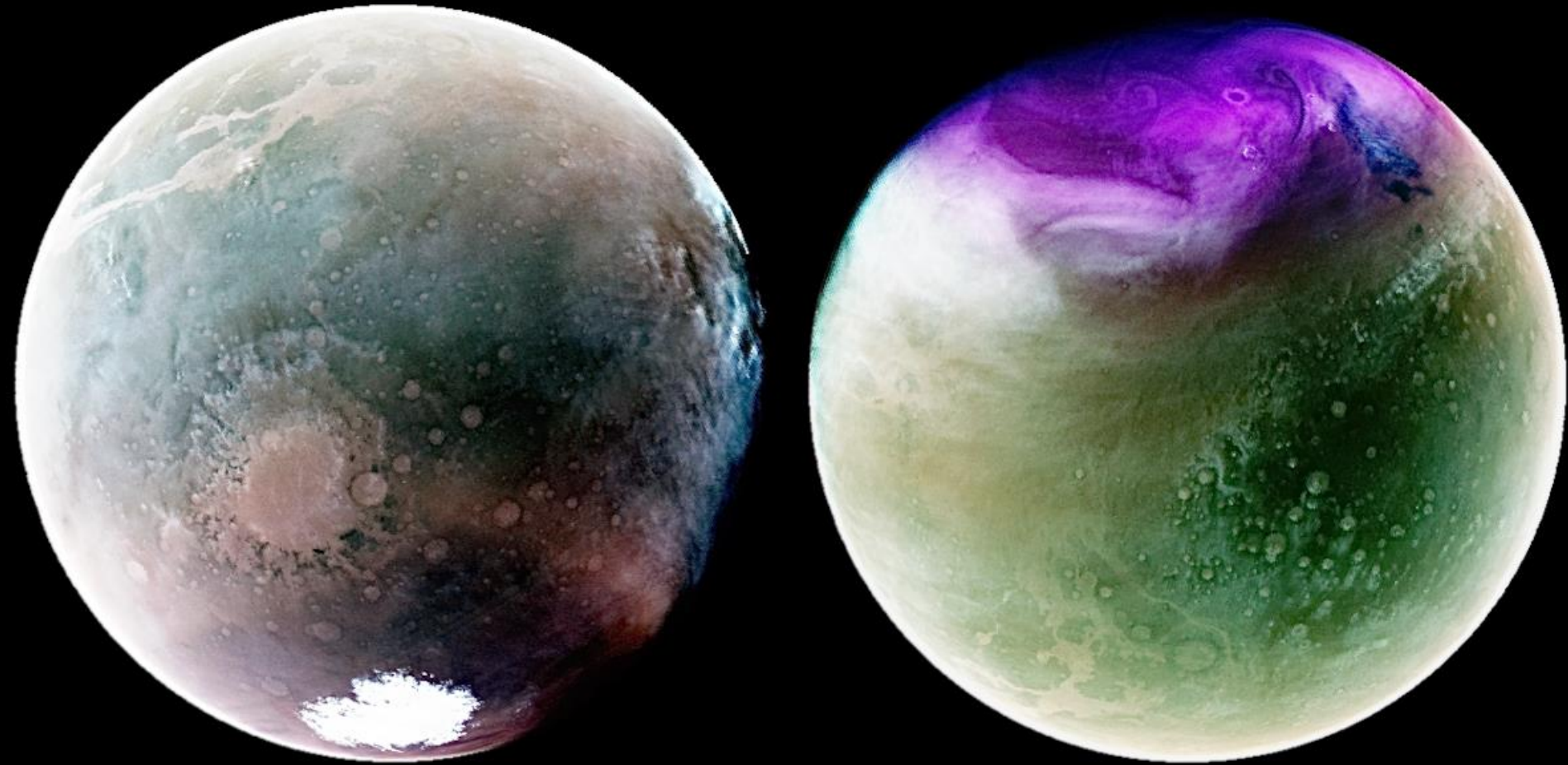


Galaxias gigantes en Pavo. La galaxia elíptica gigante dominante del grupo de galaxias Pavo, NGC 6876, se encuentra debajo ya la izquierda de la galáctica Cóndor. Nasa 23-6-2023.



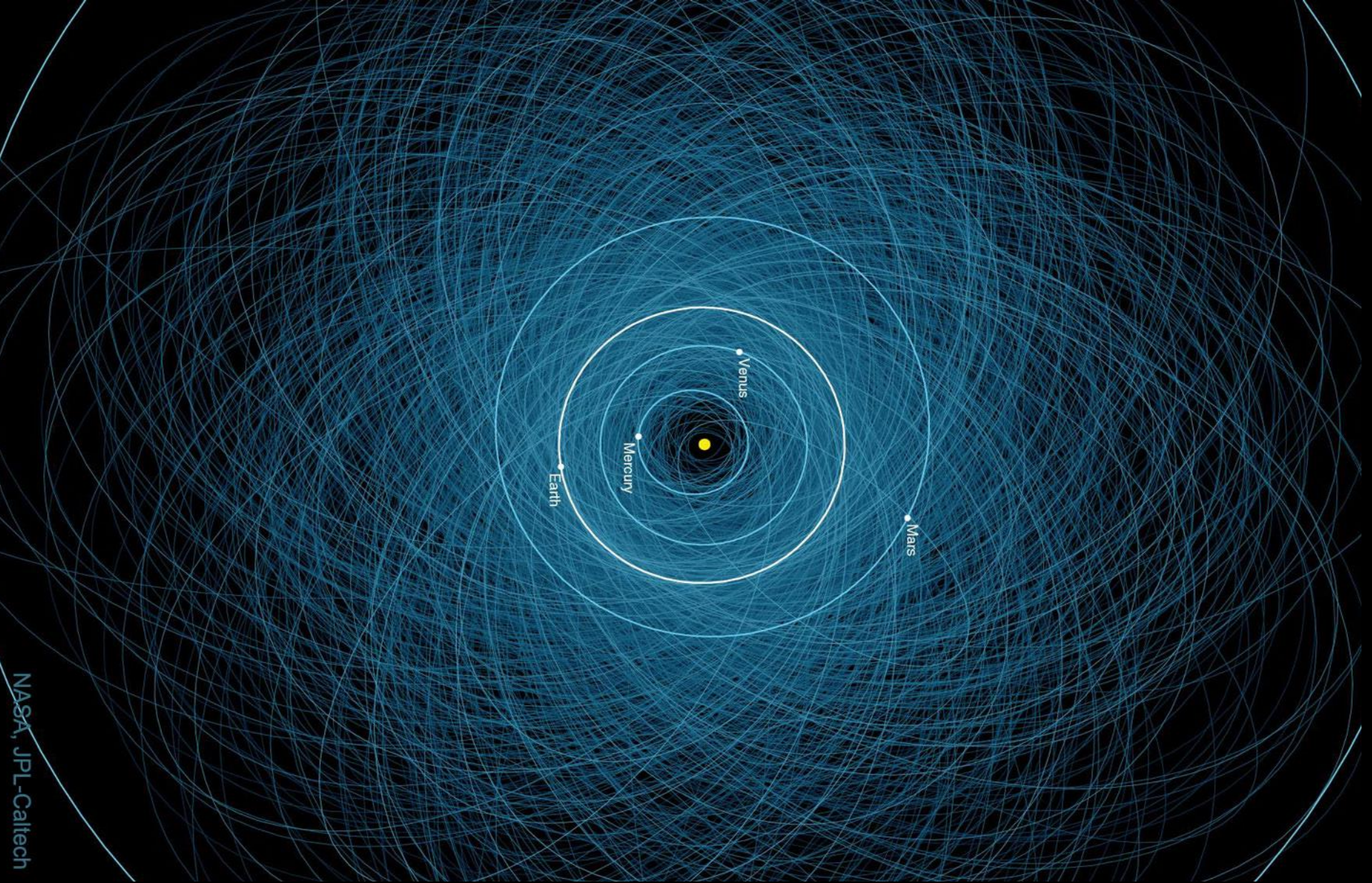


Iluminación en Júpiter.  
Es una fiebre repentina  
de partículas cargadas  
de electricidad. n la  
fotografía de Juno  
presentada, se capturó  
un destello óptico en  
un gran vórtice de  
nubes cerca del polo  
norte de Júpiter. Nasa  
25-6-2023.



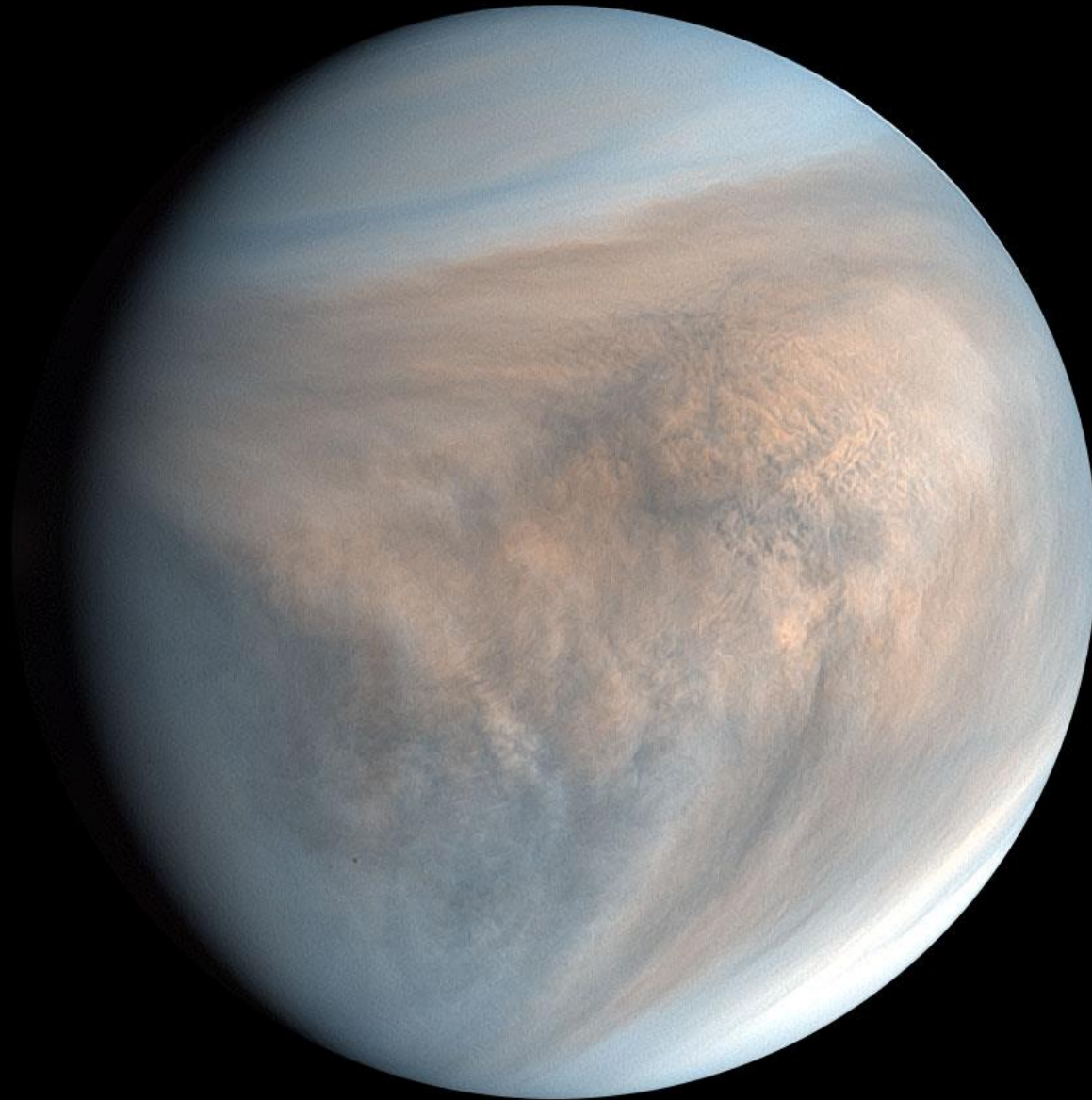
Marte con luz ultravioleta. Junio del 2022 y Enero el 2023. Tres bandas ultravioleta, que de otro modo serían invisibles, se asignan a los colores rojo, verde y azul. Th color scheme presents the Red Planet's surface features in shades of tan and green. Haze and clouds appear white or blue, while high altitude ozone takes on a dramatic purple hue. Ese esquema de color presenta las características de la superficie del Planeta Rojo en tonos tostados y verdes. La neblina y las nubes aparecen de color blanco o azul, mientras que el ozono de gran altitud adquiere un tono púrpura espectacular. Nasa 27-6-2023.





(imagen girada 90° a la der.) Orbits de Asteroides potencialmente peligrosos (las de unos -1000 conocidos) Nasa 30-6-2023.





Venus en ultravioleta. Nasa 3-7-2023.

AKATSUKI, JAXA  
PLANET-C Project Team





Aurora sobre cascada de Islandia. Nasa 4-7-2023.

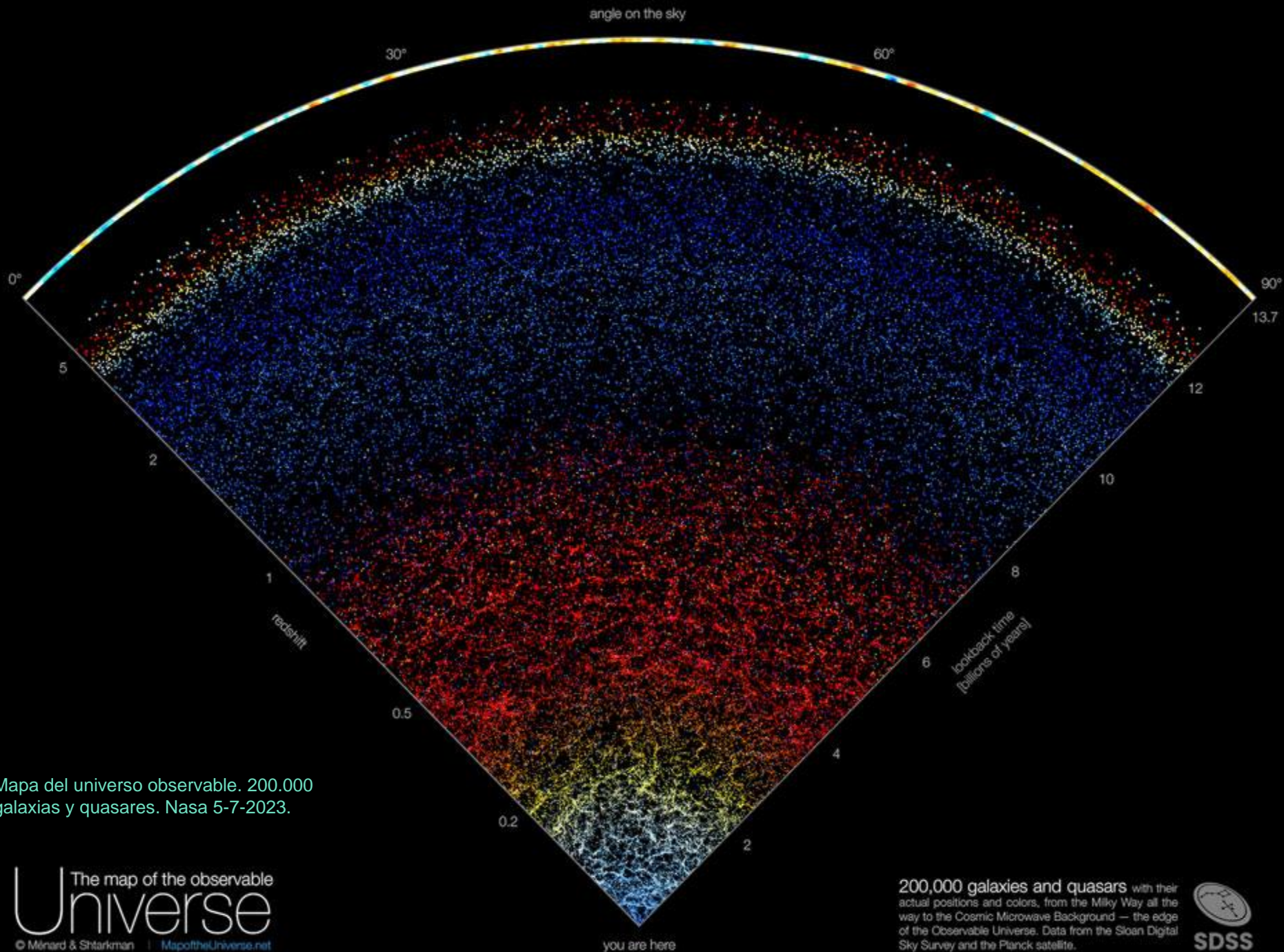
Carl Letelier



A. espiral sobre Islandia. Nasa 30-7-2023.

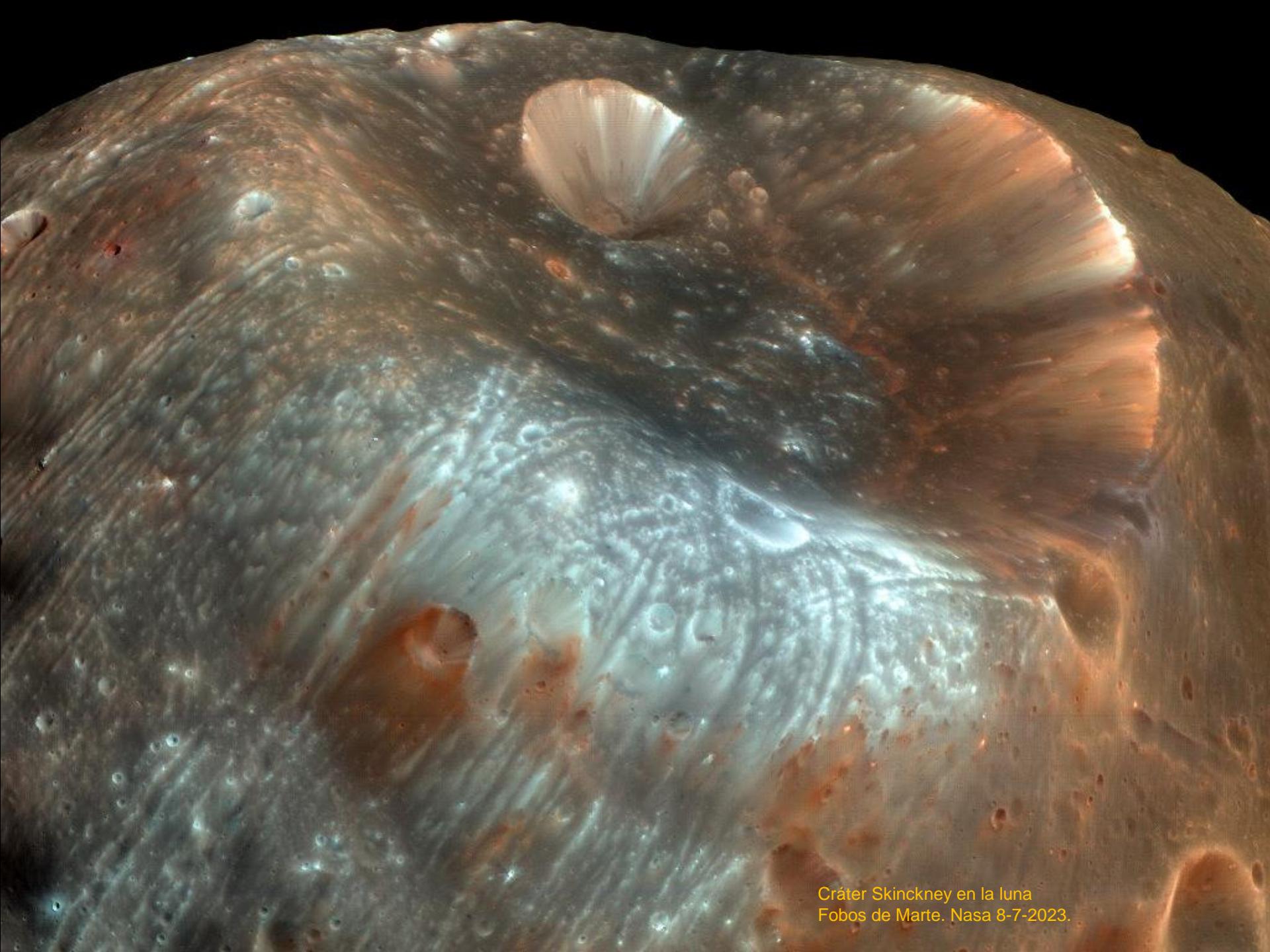
**STARS4ALL**  
J.C. Casado  
STARRYEARTH





Mapa del universo observable. 200.000 galaxias y cuasares. Nasa 5-7-2023.





Cráter Skinckney en la luna  
Fobos de Marte. Nasa 8-7-2023.





Estrellas , polvo y nebulosa en NGC 6559. En la imagen destacada se ven nebulosas de emisión de hidrógeno rojas que brillan intensamente, nebulosas de reflexión azules de polvo, nebulosas de absorción oscuras de polvo y las estrellas que se formaron a partir de ellas. Nasa 10-7-2023.



Web's Rho Ophiuchi  
Complejo de nube molecular  
donde se están formando  
futuros sistemas planetarios  
en Rho Ophiuchi. Enormes  
chorros de hidrógeno  
molecular impactado que  
salen de las estrellas recién  
nacidas aparecen en rojo en  
la imagen, con la gran  
cavidad amarillenta y  
polvorienta excavada por la  
enérgica estrella joven cerca  
de su centro. Cerca de  
algunas estrellas en la  
impresionante imagen hay  
sombras proyectadas por  
sus discos protoplanetarios.  
La imagen del mañana:  
píxeles en el espacio







A la izq: Cometa C/2023: El-Atlas. Cerca de Perihelion. Nasa 14-7-2023.



Meteorito y Vía Láctea sobre los Alpes- Monte Tschirgant. Nasa 16-7-2023.





Conchas y arcos alrededor de la estrella VV Leonis. Es la estrella de carbono más cercana, una estrella que aparece de color naranja debido al carbono atmosférico dispersado por la fusión nuclear interior. Nasa 17-7-2023.

ESA/Hubble, NASA  
T. Ueta (U. Denver), Hyosun Kim (KASI)



En el Observatorio de Las Palmas, Canarias. Nasa 18-7-2023.





Galaxia El Ojo Negro. M64, de cerca. Al norte de la constelación de Coma Berenices. Nasa 20-7-2023.



Los productos químicos brillan cuando un meteorito se desintegra. Nasa 24-7-2023.







Credit: X-ray: Chandra; NASA/OIC/SAO, XMM: ESA/XMM-Newton;  
IR: JWST; NASA/ESA/CASA/STScI, Spitzer; NASA/JPL/CalTech;  
Nebulosa Águila con estrellas calientes de  
rayos X. Nasa 25-7-2023. Major, N. Wolk, and K. Arcand





Nebulosa de La  
Gamba. En la  
constelación de  
Sagitario. IC 4628.

Nasa 26-7-2023.

Daniel Stern





Estrellas jóvenes. Chorros estelares. Las salidas de alta velocidad de gas molecular de un par de estrellas jóvenes en formación activa brillan en luz infrarroja. Catalogadas como HH (Herbig-Haro) 46/47. Las estrellas jóvenes están alojadas dentro de una nebulosa oscura que es en gran parte opaca cuando se ve en luz visible. Nasa 28-7-2023.





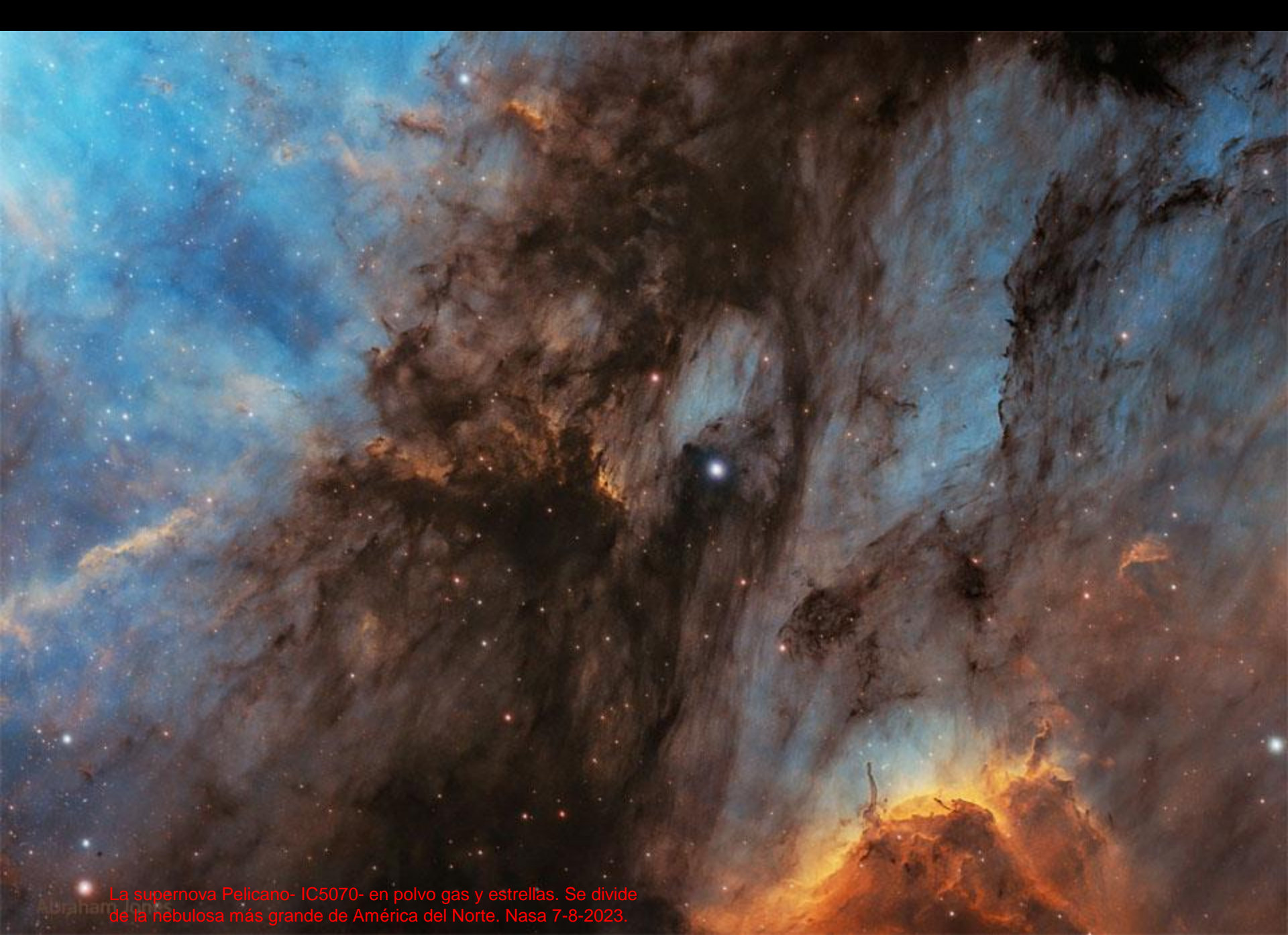




Una cinta de supernova desde el Hubble. SN1006. Pequeña parte del resto de una supernova en expansión. Nasa 6-8-2023.

NASA, ESA, and the Hubble Heritage Team (STScI/AURA);  
Acknowledgment: W. Blair (Johns Hopkins University)





La supernova Pelicano- IC5070- en polvo gas y estrellas. Se divide de la nebulosa más grande de América del Norte. Nasa 7-8-2023.

Abraham





Nebulosa Messier 51 –durante 255 horas. Nasa 11-8-2023.



Líneas coloridas, denominadas Ghirigori, hechas de estrellas que se encuentran en las constelaciones del cielo del norte, Bootes, Corona Borealis, Ophiucus y Coma Berenices, se capturan en este mosaico artístico. Las 25 estrellas que crean los variados y coloridos garabatos se identifican alrededor del borde. Por supuesto, la temperatura determina el color de una estrella. Mientras que las estrellas blanquecinas tienden a estar cerca de la temperatura del Sol, las estrellas con tonos más azules son más calientes y los colores amarillo y rojo son más fríos que el Sol. Vigilancia de fin de semana: lluvia de meteoritos de las Perseidas. Nasa 12-8-2023





NASA; ESA; CST, JWST  
Processing: ZI Yang Kong

La Nebulosa Anillo-M-  
57. Profunda  
exposición con luz  
infrarroja. Nasa 14-8-  
2023.



Arpa 93. Un abrazo cósmico. Hacia la constelación de Acuario. Nasa 16-8.2023.





Nebulosa Pistacho. En azul el oxígeno, en rojo el hidrógeno. Nasa 27-8-2023.





Craig Stocks Arts  
Fine Art Photography

Formación de estrellas en la Nebulosa Pacman, NGC 281., y cluster abierto IC 1590-Nasa 28-8-2023.





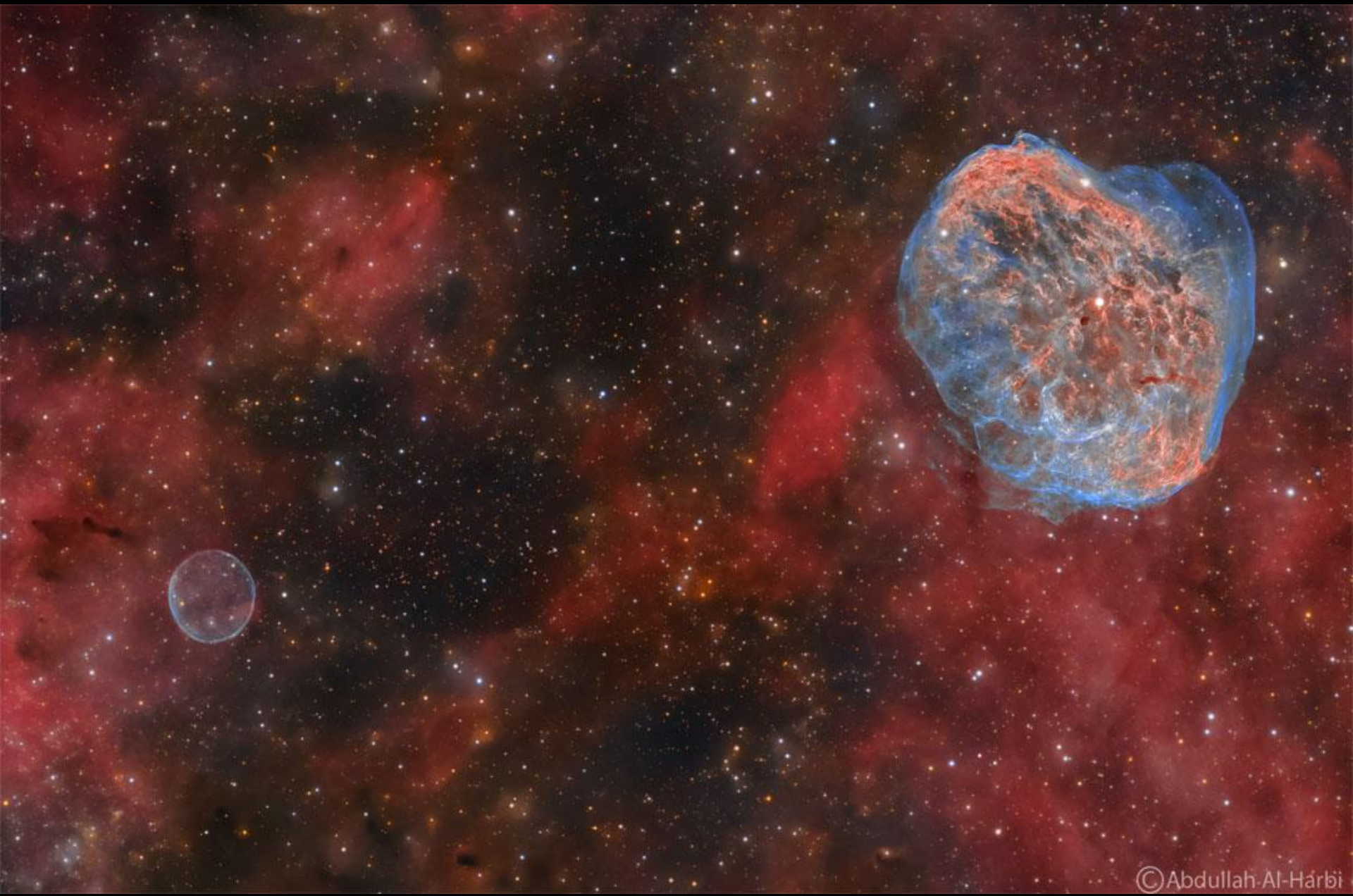
Nebulosa Multitud 7. Nasa 31- 8-2023.

© NASA  
2023



Nebulosa Iris  
NGC 7023.  
Constelación  
de Cefeo. Nasa  
2-9-2023





©Abdullah Al-Hárbi

Cisne. Burbuja y Media Luna. la Burbuja de Jabón (abajo a la izquierda) y la Nebulosa Creciente (arriba a la derecha). Ambos se formaron en la fase final de la vida de una estrella. También conocida como NGC 6888, la Nebulosa Creciente. Nasa 4-9-2023.





Messier 17. Factoría de estrellas.- Nasa 8-9-2023.

© Grand Mesa Observatory  
Kim Quick / Terry Hancock / Tom Masterson





NGC4632- Galaxia con un anillo polar de H gas oculto.. Nasa 13-9-2023.



El duende rojo y el árbol. Nasa 18-9-2023.





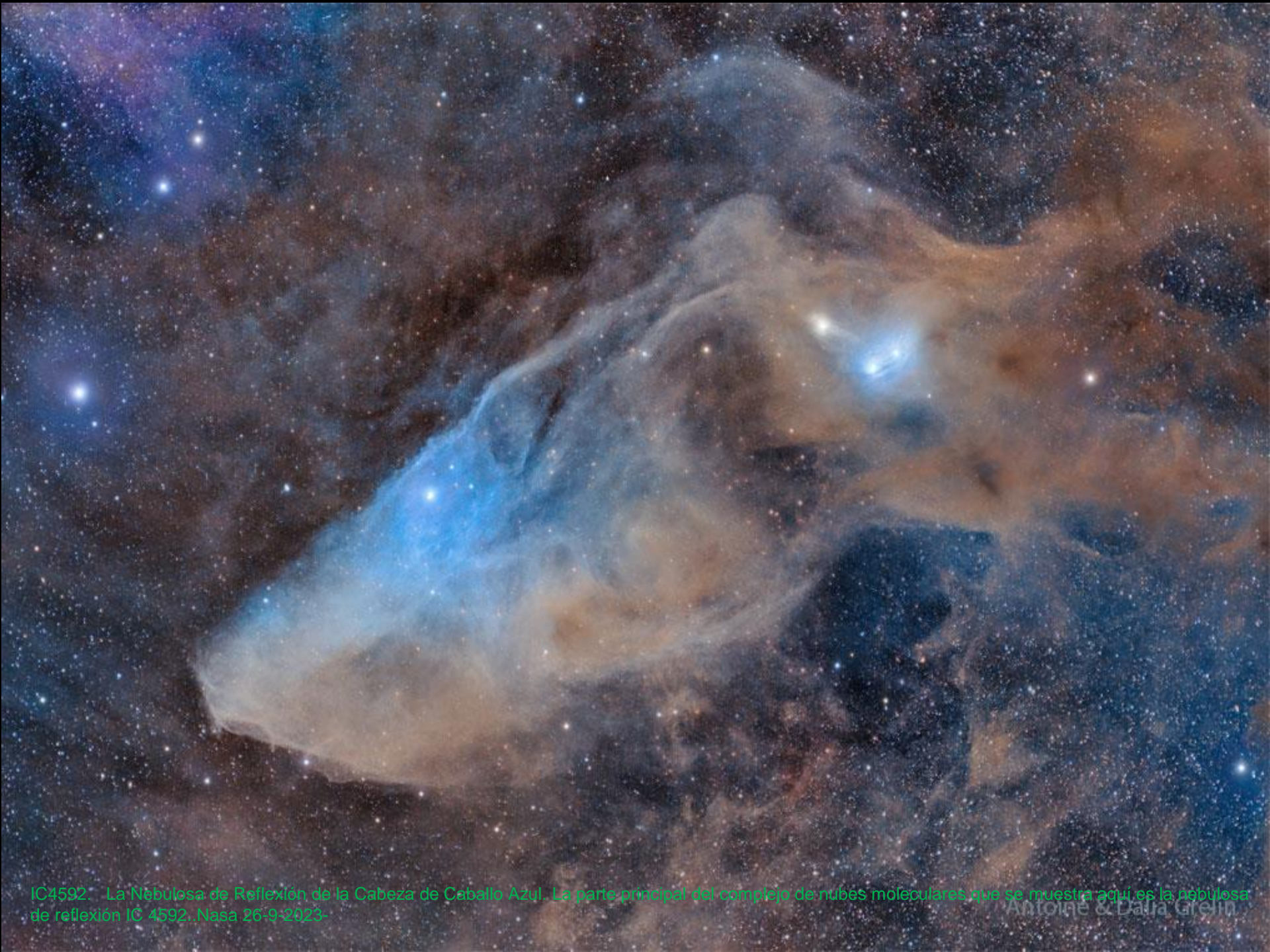
HH 211 chorros de una estrella que se está formando. Nasa 19-9-2023.







La galaxia Colibrí. Arp-142. NGC 2936, la superior de las dos grandes galaxias que se muestran en la parte inferior, era probablemente una galaxia espiral normal: giraba, creaba estrellas y se ocupaba de sus propios asuntos. Pero luego se acercó demasiado a la enorme galaxia elíptica NGC 2937, justo debajo, y dio un giro. Nasa 25-9-2023



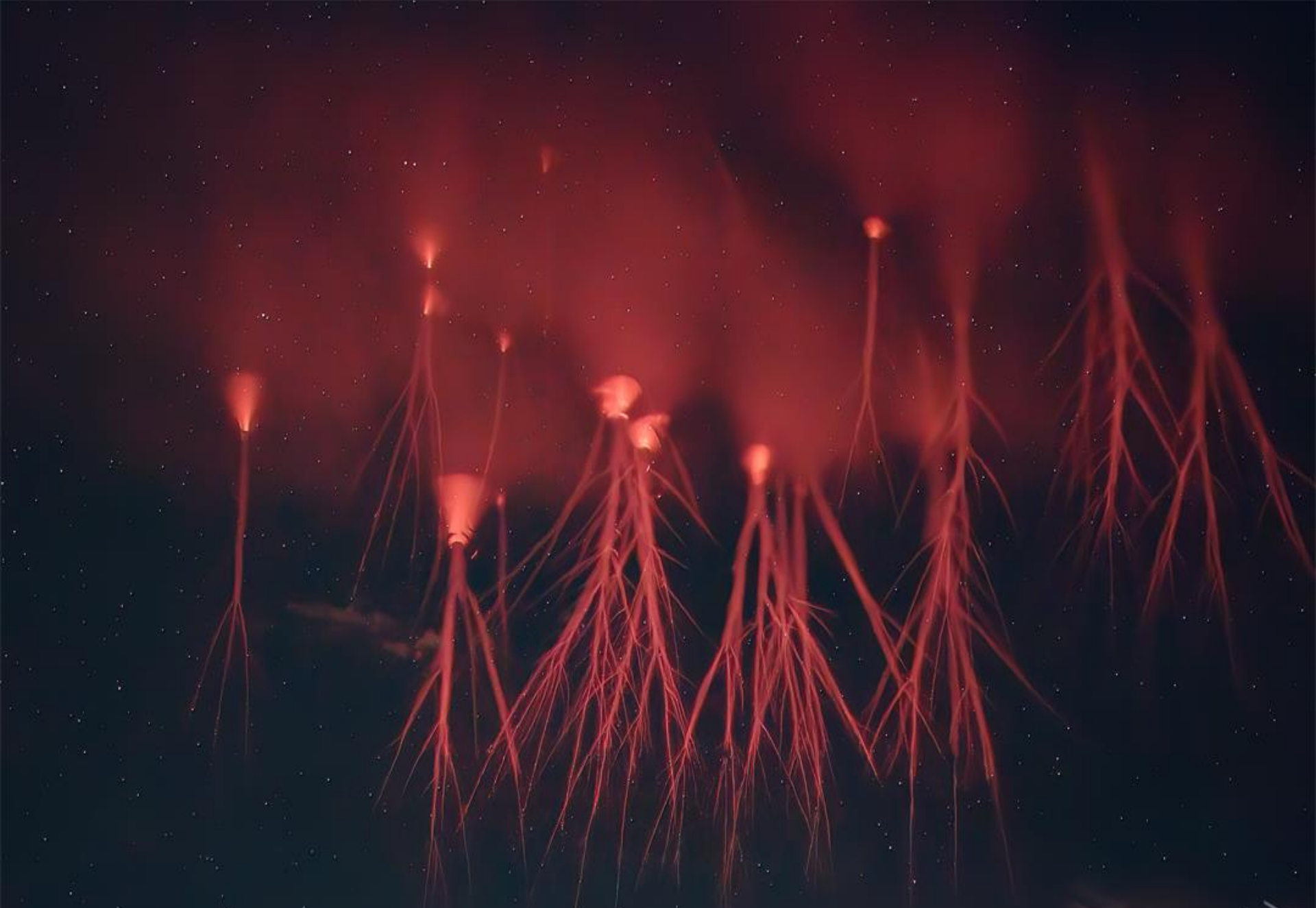
IC4592. La Nebulosa de Reflexión de la Cabeza de Caballo Azul. La parte principal del complejo de nubes moleculares que se muestra aquí es la nebulosa de reflexión IC 4592. Nasa 26/9/2023- Antoine & Daria Grein





Nebulosa Lagoon. M8. Zona de formación de estrellas, en la constelación de Sagitario, hacia el centro de nuestra Vía Láctea. Nasa 28-9-2023.

©-JDrudis-CSasse-2023



Uno de esos tipos de relámpagos es el relámpago de duende rojo, que sólo ha sido fotografiado y estudiado en la Tierra durante los últimos 25 años. Los científicos todavía están tratando de descubrir por qué ocurren los rayos de duende rojo. Nasa 2-10-2023.







MyCn18- La nebulosa planetaria del reloj de arena grabada. Nasa 3-10-2023.









El Ori3n, oculto- Nasa 10-10-2023.

NASA, ESA, CSA  
Processing: M. McCaughrean & S. Pearson



NGC1097. Galaxia espiral con Supernova. SN 023RVE. Nasa 11-10-2023



Mu Cefeo Es una estrella grande. Históricamente conocida como la estrella granate de Herschel, Mu Cefeo es extremadamente roja. Aproximadamente a 2.800 años luz de distancia, la supergigante se ve cerca del borde de la nebulosa de emisión rojiza IC 1396 hacia la constelación real del norte de Cefeo en esta vista telescópica. Nasa 12-10-2023.

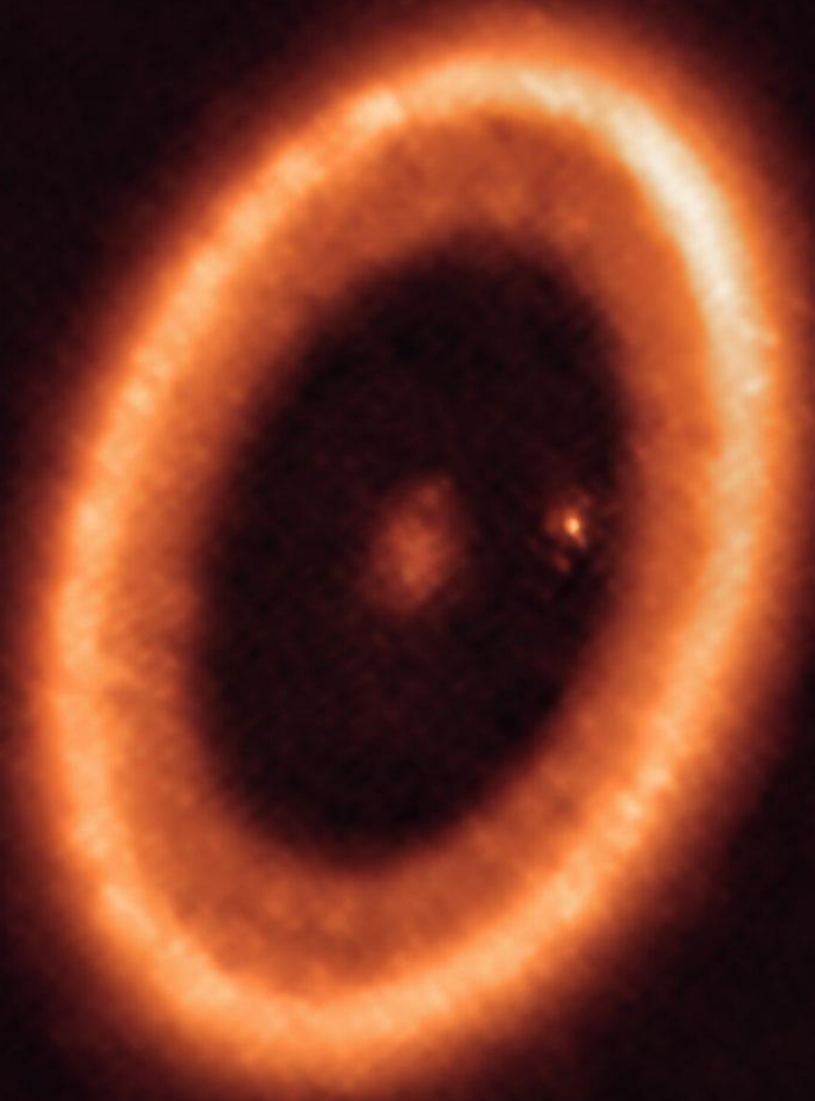






Nubes de H de M33. Galaxia Triangulo. Nasa 13-10-2023

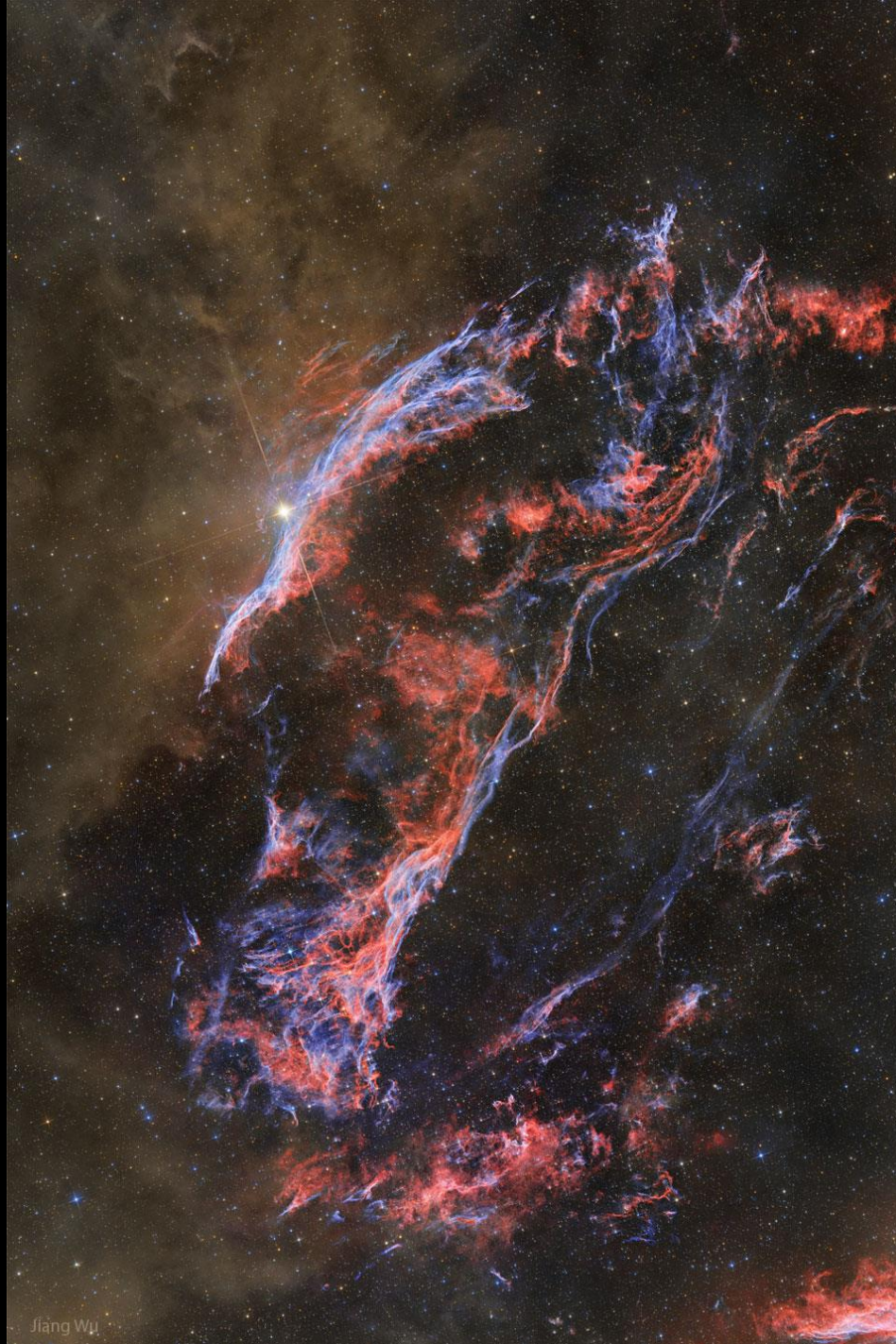




Gran anillo alrededor de la estrella PDS 70.  
Y el Planeta PDS 70C. Nasa- 17-10-2023.

ALMA (ESO/NAOJ/NRAO), Benisty et al.

El Polvo y la nebulosa del Velo Occidental. En Constelación del Cisne. Los filamentos de gas portátiles incluyen la Nebulosa Escoba de Bruja en la parte superior izquierda cerca de la brillante estrella del primer plano 52 Cygni, y el Triangular Wisp de Fleming (anteriormente conocido como Triángulo de Pickering) que corre diagonalmente hacia el centro de la imagen. Lo que rara vez se muestra en imágenes, pero se ve en la larga exposición presentada en muchas bandas de colores, es el polvo marrón reflectante que corre verticalmente hacia arriba en la imagen izquierda, polvo probablemente creado en las atmósferas frías de estrellas masivas. Nasa 18-10-2023.



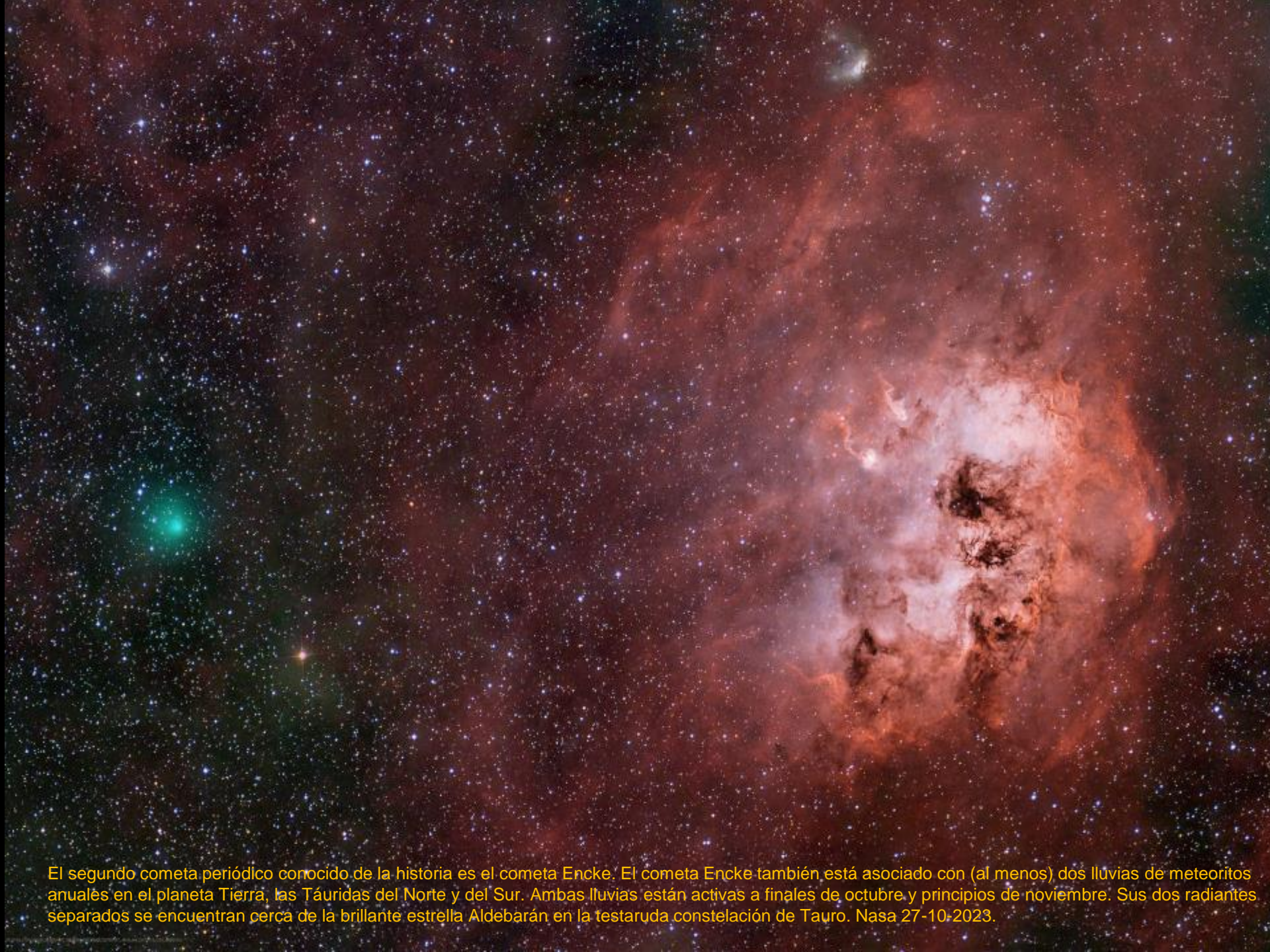




NASA, JPL-Caltech, SwRI, MSSS  
Processing: Ted Stryk & Fernando García Navarro

Luna, de Júpiter, IO desde astronave Juno. Llena de volcanes. Nasa 23-10-2023.





El segundo cometa periódico conocido de la historia es el cometa Encke. El cometa Encke también está asociado con (al menos) dos lluvias de meteoritos anuales en el planeta Tierra, las Táuridas del Norte y del Sur. Ambas lluvias están activas a finales de octubre y principios de noviembre. Sus dos radiantes separados se encuentran cerca de la brillante estrella Aldebarán en la testaruda constelación de Tauro. Nasa 27-10-2023.



Los fantasmas de Gamma Cas-Gamma Cassiopeiae brilla alto en los cielos nocturnos de otoño del norte. Es la estrella puntiaguda más brillante en este campo de visión telescópico hacia la constelación de Casiopea. Gamma Cas comparte la escena de aspecto etéreo con fantasmales nubes interestelares de gas y polvo, IC 59 (arriba a la izquierda) e IC 63. A unos 600 años luz de distancia, las nubes no son en realidad fantasmas. Sin embargo, están desapareciendo lentamente, erosionándose bajo la influencia de la radiación energética de la gamma Cas, caliente y luminosa. Nasa 28-10-23





Reflejos de la Nebulosa  
Fantasma. Nasa 30-10-2023.





Halloween and the Nebula del Mago. Nasa 31-10-2023.

Richard McInnis



Margoth Kusanti  
Specialized in Photography

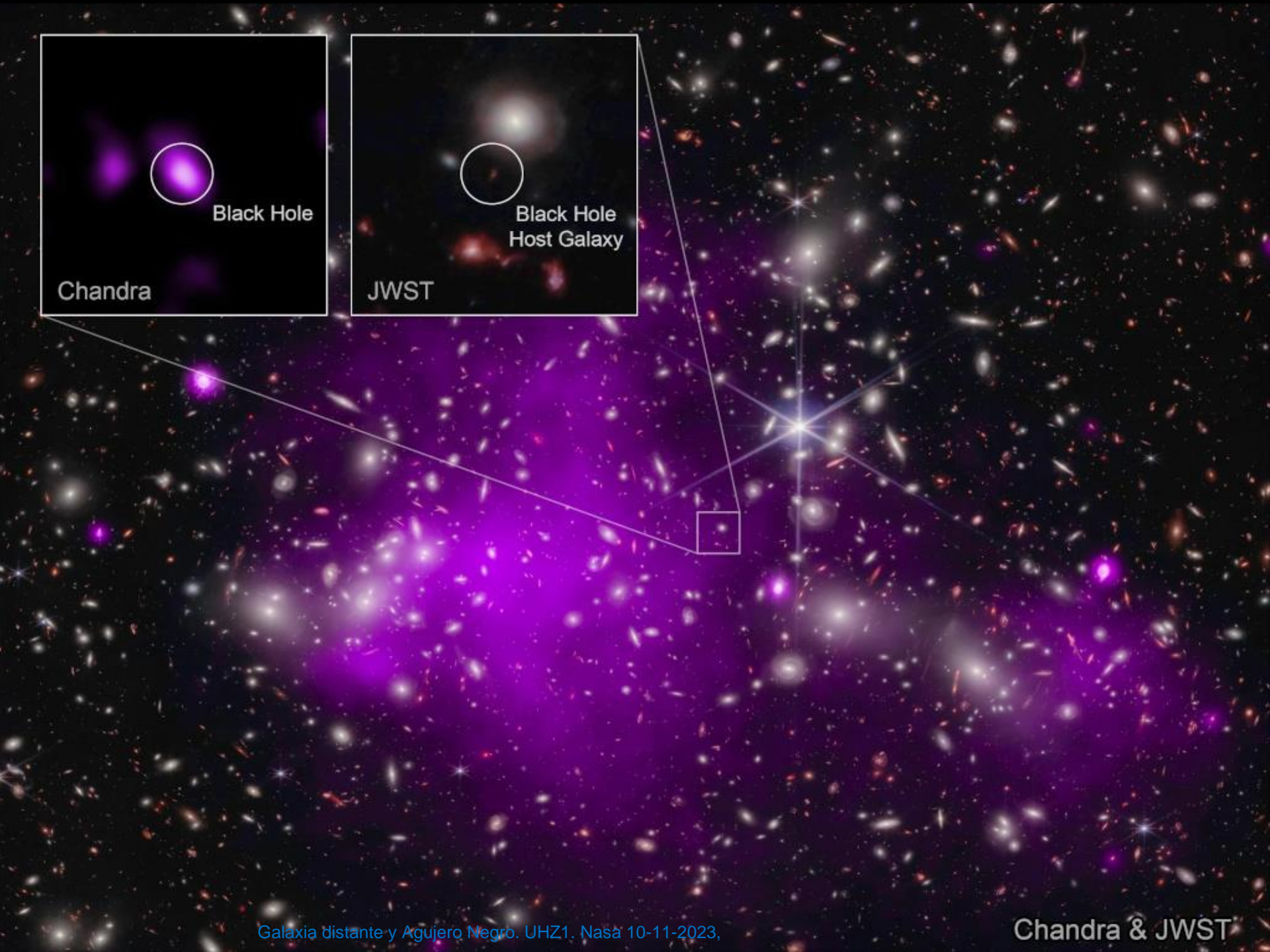
Eclipse solar anular sobre Utah. Nasa 1-11-2023.





Nebulosa El Cangrejo.- M1.- Restos de una supernova. Nasa 9-11-2023.





Black Hole

Black Hole  
Host Galaxy

Chandra

JWST





6-junio

NASA, ESA, and The Hubble Heritage Team (STScI/AURA)

Nebulosa Cabeza de Caballo-en el complejo de la Nube de Orión. La oscura nube molecular, a unos 1.500 años luz de distancia, está catalogada como Barnard 33 y se ve arriba principalmente porque está iluminada a contraluz por la cercana estrella masiva Sigma Orionis. Nasa 20-11-2023.





Girón triangular de Fleming. Hacia la constelación de Cisne como parte de la nebulosa del Velo- resto de supernova. Nasa 21-11- 23

Cristiano Gualco





A lo largo de la nube molecular de Taurus. Nasa 23-11-23

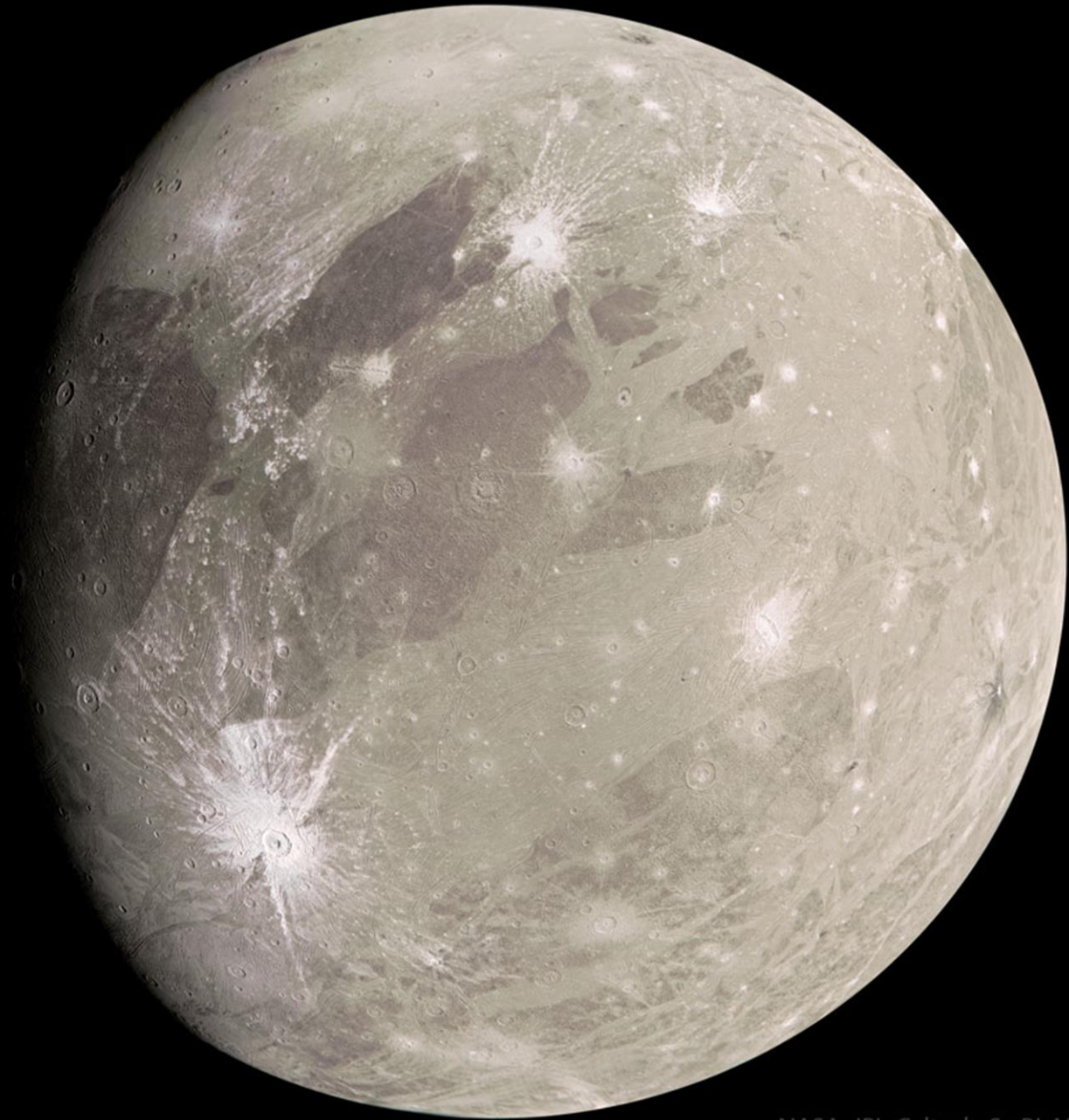
*Yucias Astrophotography*  
S42-259 & NGC1555, W70, W





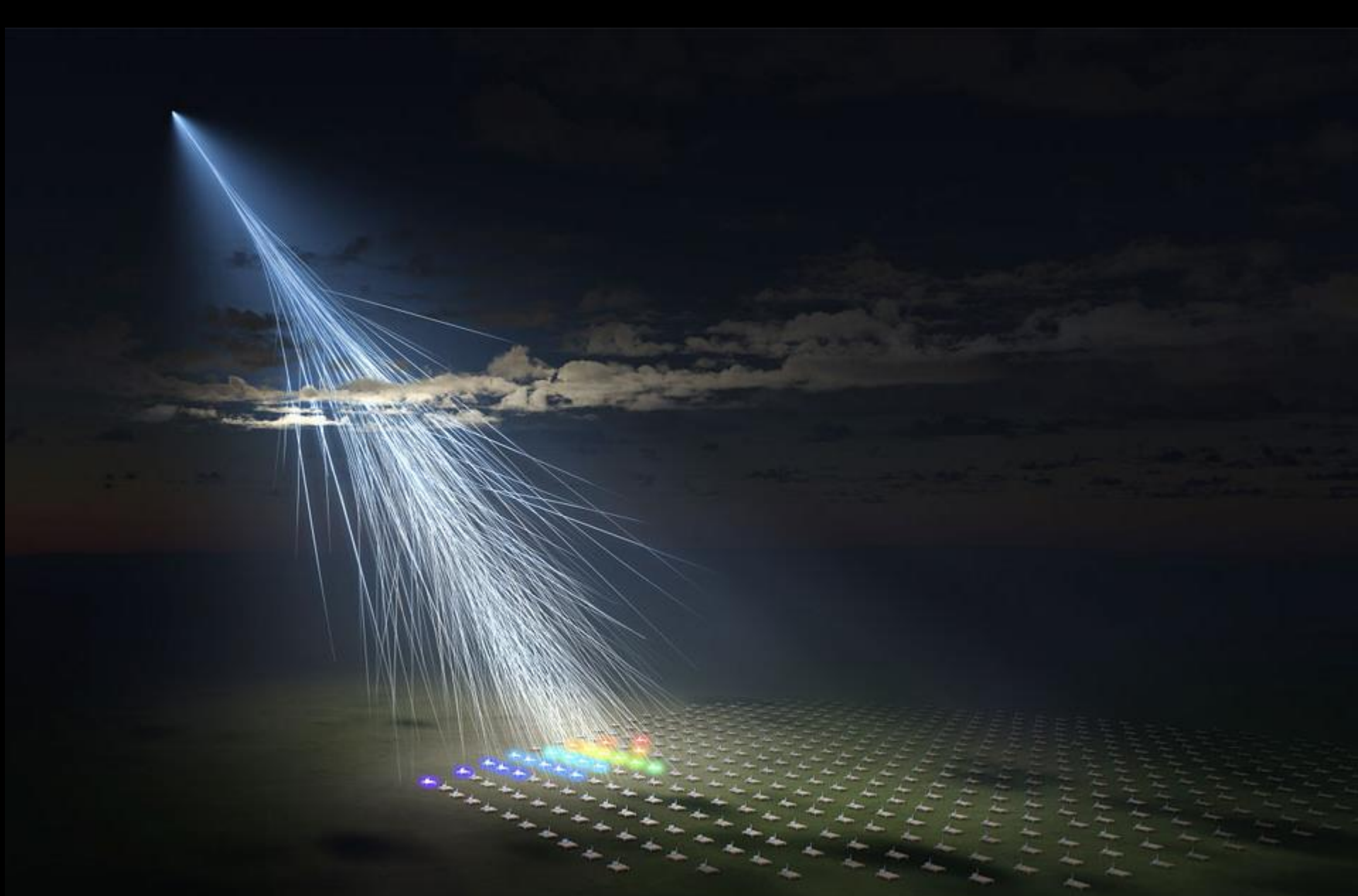
La Nebulosa del Rayo del Águila. LBN 86. Nasa 27-11-23.





NASA, JPL-Caltech, SwRI, MSSS  
Processing: Kevin Gill

Ganímedes-satélite de Júpiter- desde Juno. Mayor que Mercurio y Plutón. Nasa 28-6-23.



Osaka Metropolitan University/L-IN  
Kyoto University/Pyryunhosuke Taka

Fue una de las partículas más energéticas que jamás se haya conocido que haya golpeado la Tierra, pero ¿de dónde vino? Apodada Amaterasu en honor a la diosa del sol sintoísta, esta partícula, al igual que todos los rayos cósmicos que inciden en la atmósfera de la Tierra, provocó que una lluvia de aire de electrones, protones y otras partículas elementales cayeran sobre la Tierra.





Estrellas versus polvo en  
la Nebulosa Carina. Nasa  
6-12-23



Andromeda  
(Galaxy)

Milky Way

Pleiades  
(Star Cluster)

< Big Dipper

Mars

Aurora

Norwegian Sea

Uttakleiv Beach  
Lofoten Islands, Norway



Campo Profundo: La Nebulosa del Corazón. ¿Qué excita la Nebulosa del Corazón? En primer lugar, la gran nebulosa de emisión de la izquierda, catalogada como IC 1805, se parece un poco a un corazón humano. La nebulosa brilla intensamente con la luz roja emitida por su elemento más destacado, el hidrógeno, pero esta imagen de larga exposición también se mezcló con la luz emitida por el silicio (amarillo) y el oxígeno (azul). Nasa 13-12-2023.





Remanente de supernova Casiopea. Al colapsar desde vastas nubes cósmicas, sus hornos nucleares se encienden y crean elementos pesados en sus núcleos. Después de sólo unos pocos millones de años para las estrellas más masivas, el material enriquecido regresa al espacio interestelar, donde la formación de estrellas puede comenzar de nuevo. Nasa 14-12-2023.







Nebulosa California.  
NGC1499. Nasa 19-12-  
2023.

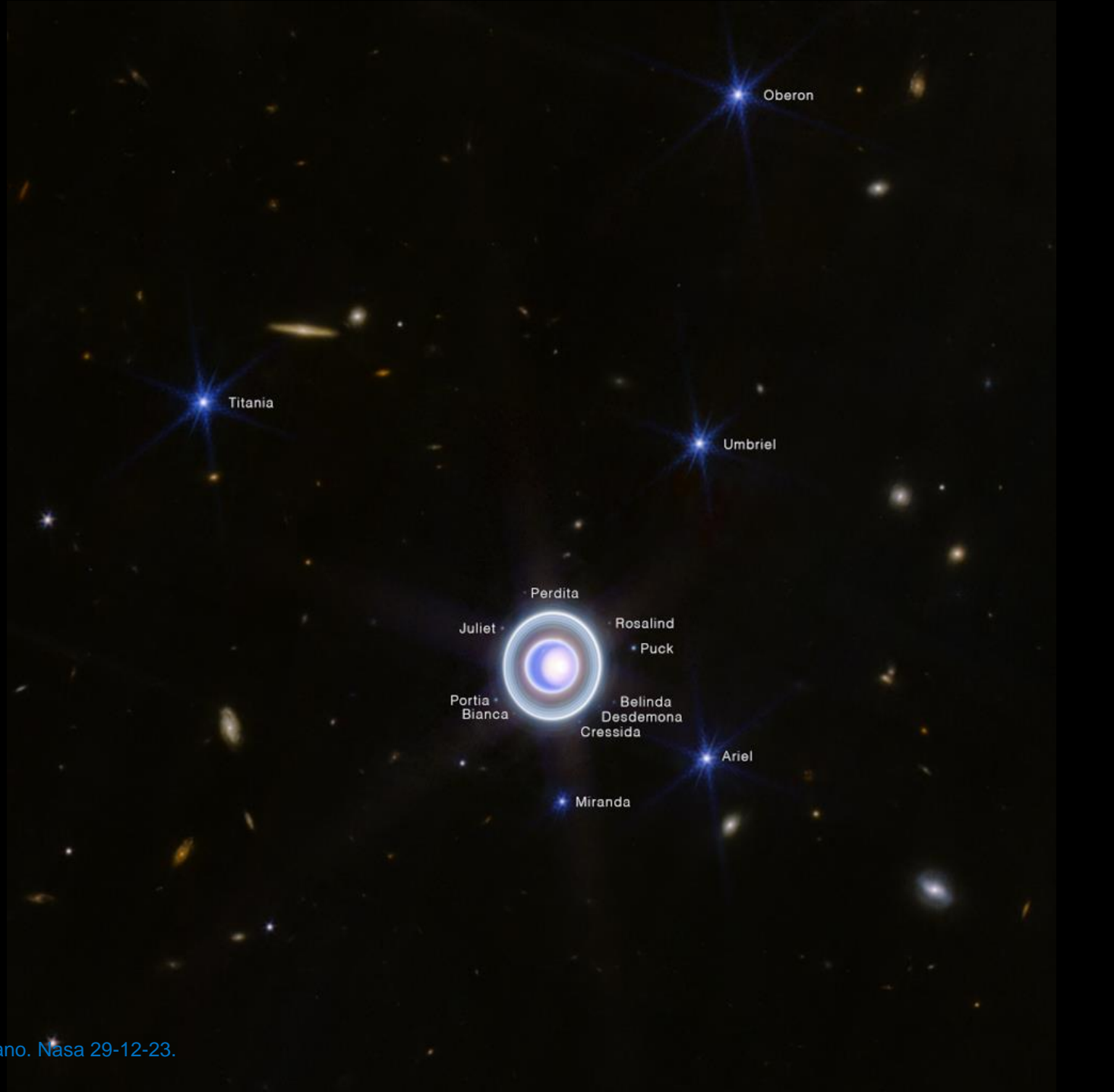
Steven Powell



Capullo de una nueva enana blanca. NGC2440. Como una mariposa, una estrella enana blanca comienza su vida expulsando un capullo de gas que encierra su antigua forma. En el capullo mostrado, la nebulosa planetaria designada NGC 2440 contiene una de las estrellas enanas blancas más calientes conocidas. Nasa 2023 Dic-2024.







Satélites de Urano. Nasa 29-12-23.